

# Квантові алгоритми для розв'язку алгебраїчних задач та можливості їх застосування в криптоаналізі

---

член-кореспондент НАН України,  
доктор фіз.-мат. наук **Савчук М.М.**  
кандидат фіз.-мат. наук **Фесенко А.В.**

Навчально-науковий фізико-технічний  
інститут КПІ ім. Ігоря Сікорського, м. Київ

Основним поняттям квантової механіки є квантовий стан. Стан квантової системи описується деяким вектором станів, який пов'язаний з поняттям амплітуди ймовірностей, або хвильової функції. Математично цей вектор можна розглядати як вектор в гільбертовому просторі над полем комплексних чисел.

## Означення

**Гільбертовим простором** називають векторний простір  $H$  над полем  $\mathbb{C}$  (або  $\mathbb{R}$ ) разом з функцією  $H \times H \rightarrow \mathbb{C}(\mathbb{R})$ , яку називають **скалярним добутком**, позначають як  $(x, y)$ ,  $x, y \in H$  та яка має властивості:

## Означення (Гільбертовий простір)

- 1  $(x, x) = 0 \Leftrightarrow x = 0, x \in H$
- 2  $(x, x) \geq 0$
- 3  $(x, y) = \overline{(y, x)}$
- 4  $\forall \lambda \in \mathbb{C}, x, y, \in H \quad (\lambda x, y) = \lambda(x, y) \text{ і } (x, \lambda y) = \overline{\lambda}(x, y)$
- 5  $(x + y, z) = (x, z) + (y, z), \forall x, y, z \in H$
- 6 Якщо послідовність  $x_n \in H, n = 1, 2, \dots$ , фундаментальна,  
 $\lim_{m, n \rightarrow \infty} (x_n - x_m, x_n - x_m) = 0$ , то існує єдине  $x \in H$  таке,  
що  $\lim_{n \rightarrow \infty} (x_n - x, x_n - x) = 0$
- 7  $H$  — нескінченновимірний простір

Для опису стану квантової системи в квантовій фізиці використовують гільбертів простір над полем комплексних чисел в нотації і позначеннях Дірака. Якщо в математиці гільбертів простір вважається нескінченновимірним, то в квантовій механіці векторний простір має скінченну вимірність.

# Позначення Дірака

Для опису стану квантової системи в квантовій фізиці використовують гільбертів простір над полем комплексних чисел в нотації і позначеннях Дірака. Якщо в математиці гільбертів простір вважається нескінченновимірним, то в квантовій механіці векторний простір має скінченну вимірність.

Вектори  $\varphi \in H$  позначаються як  $|\varphi\rangle$  (і в такому позначенні розглядаються як вектори-стовпці, а в позначенні  $\langle\varphi|$  розглядаються як вектори-рядки), скалярний добуток векторів  $\varphi$  і  $\psi$  позначається  $\langle\varphi|\psi\rangle$ ,  $\langle\varphi|$  визначає лінійну функцію, яка задається скалярним добутком  $\langle\varphi| : \psi \mapsto \langle\varphi|\psi\rangle$ , норма  $\|\psi\| = \sqrt{\langle\psi|\psi\rangle}$ . В якості представника класу векторів, що відрізняються на комплексний скалярний множник вибрано нормований на одиницю вектор, для якого  $\langle\varphi|\varphi\rangle = 1$ . Вектор може бути представлений як лінійна комбінація базисних векторів  $|\varphi\rangle = \sum_{i=1}^N \langle e_i|\varphi\rangle \cdot |e_i\rangle = \sum_{i=1}^N a_i |e_i\rangle$ , де  $\{e_i\}_{i=1,\dots,N}$  — ортонормований базис,  $\sum_{i=1}^N |a_i|^2 = 1$ .

- Процес зміни квантового стану описується як застосування до вектору станів унітарних операторів.

- Процес зміни квантового стану описується як застосування до вектору станів унітарних операторів.
- Процес вимірювання полягає в проектуванні вектора квантового стану на базисні вектори. Ймовірність проектування на базисний стан  $e_i$  дорівнює  $|a_i|^2$ ,  $i = 1, \dots, N$ .

# Позначення Дірака

- Процес зміни квантового стану описується як застосування до вектору станів унітарних операторів.
- Процес вимірювання полягає в проектуванні вектора квантового стану на базисні вектори. Ймовірність проектування на базисний стан  $e_i$  дорівнює  $|a_i|^2$ ,  $i = 1, \dots, N$ .

## Приклад

Нехай кубіт знаходиться в квантовому стані  $\frac{4}{5} |0\rangle - \frac{3}{5} |1\rangle$ . При вимірюванні отримуємо класичний біт 0 з ймовірністю  $(\frac{4}{5})^2 = 64\%$ , і класичний біт 1 з ймовірністю  $(\frac{-3}{5})^2 = 36\%$ .

- **модель квантових схем**
- квантова машина Тюрінга
- квантові обчислення на основі вимірювань
- адіабатичні квантові обчислення (квантовий відпал, quantum annealing)
- топологічні квантові обчислення

# Модель обчислень

- **модель квантових схем**
- квантова машина Тюрінга
- квантові обчислення на основі вимірювань
- адіабатичні квантові обчислення (квантовий відпал, quantum annealing)
- топологічні квантові обчислення

Technology	Best Argument For	Best Argument Against	Companies Involved
Majorana	Fundamentally protected from errors	Hard to engineer	Microsoft
Solid-state spins (P,Si, NV centers, etc.)	Small footprint	Heterogeneous, hard to scale	Turing, CQC2T
Quantum dots	Small footprint, scalable fabrication	Connectivity	HRL, Intel
Neutral atoms	Homogeneous, long-range gates	Lack of demonstrated good 2-qubit gates	Atom Computing, Inc.
Linear optics <sup>50</sup>	Scalable fabrication	Lack of key components (single photon sources)	PsiCorp, Xanadu
Superconductors	Demonstrated programmability, lithographically definable	Large footprint, 10 mK	Google, IBM, Rigetti, Intel, QCI
ions <sup>51</sup>	Demonstrated programmability, long coherence, homogeneous,	Microsecond gate speeds, lasers	IonQ, Honeywell

# Однокубітні квантові перетворення

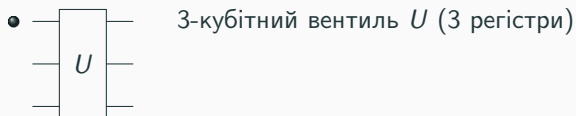
- $|0\rangle$  кубіт;  $|0\rangle^{\otimes n}$  ~~—~~  $n$  регістр кубітів;  $I = |0\rangle\langle 0| + |1\rangle\langle 1|$
- $\boxed{X}$  матриця Паулі  $X = \begin{pmatrix} 0 & 1 \\ 1 & 0 \end{pmatrix} = |1\rangle\langle 0| + |0\rangle\langle 1|$
- $\boxed{Y}$  матриця Паулі  $Y = \begin{pmatrix} 0 & -i \\ i & 0 \end{pmatrix} = i|1\rangle\langle 0| - i|0\rangle\langle 1|$
- $\boxed{Z}$  матриця Паулі  $Z = \begin{pmatrix} 1 & 0 \\ 0 & -1 \end{pmatrix} = |1\rangle\langle 0| - |0\rangle\langle 1|$
- $\boxed{H}$  Адамара  $H = \frac{1}{\sqrt{2}} \begin{pmatrix} 1 & 1 \\ 1 & -1 \end{pmatrix} = \frac{|0\rangle+|1\rangle}{\sqrt{2}}\langle 0| + \frac{|0\rangle-|1\rangle}{\sqrt{2}}\langle 1|$
- $\boxed{P(\phi)}$   $P(\phi) = \begin{pmatrix} 1 & 0 \\ 0 & e^{i\phi} \end{pmatrix} = |1\rangle\langle 0| + e^{i\phi}|0\rangle\langle 1|$
- $\boxed{S}$  фазове  $S = \begin{pmatrix} 1 & 0 \\ 0 & i \end{pmatrix} = |1\rangle\langle 0| + i|0\rangle\langle 1|$
- $\boxed{T}$   $\frac{\pi}{8}$  перетворення  $T = \begin{pmatrix} 1 & 0 \\ 0 & e^{\frac{i\pi}{4}} \end{pmatrix} = |1\rangle\langle 0| + e^{\frac{i\pi}{4}}|0\rangle\langle 1|$

# Багатокубітні квантові перетворення

-  вентиль  $CNOT = \begin{pmatrix} 1 & 0 & 0 & 0 \\ 0 & 1 & 0 & 0 \\ 0 & 0 & 0 & 1 \\ 0 & 0 & 1 & 0 \end{pmatrix} =$   
 $= |0\rangle|0\rangle\langle 0|\langle 0| + |0\rangle|1\rangle\langle 1|\langle 0| + |1\rangle|1\rangle\langle 0|\langle 1| + |1\rangle|0\rangle\langle 1|\langle 1|$
-  3-кубітний вентиль  $U$  (3 регістри)
-  квантовий канал;  $\equiv$  класичний канал
-  вимірювання

# Багатокубітні квантові перетворення

-  вентиль  $CNOT = \begin{pmatrix} 1 & 0 & 0 & 0 \\ 0 & 1 & 0 & 0 \\ 0 & 0 & 0 & 1 \\ 0 & 0 & 1 & 0 \end{pmatrix} =$   
 $= |0\rangle|0\rangle\langle 0|\langle 0| + |0\rangle|1\rangle\langle 1|\langle 0| + |1\rangle|1\rangle\langle 0|\langle 1| + |1\rangle|0\rangle\langle 1|\langle 1|$

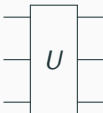


- — квантовий канал; = класичний канал



група Кліффорда — породжена вентилями  $H$ ,  $S$  та  $CNOT$

# Багатокубітні квантові перетворення

-  вентиль  $CNOT = \begin{pmatrix} 1 & 0 & 0 & 0 \\ 0 & 1 & 0 & 0 \\ 0 & 0 & 0 & 1 \\ 0 & 0 & 1 & 0 \end{pmatrix} =$   
 $= |0\rangle|0\rangle\langle 0|\langle 0| + |0\rangle|1\rangle\langle 1|\langle 0| + |1\rangle|1\rangle\langle 0|\langle 1| + |1\rangle|0\rangle\langle 1|\langle 1|$
-  3-кубітний вентиль  $U$  (3 регістри)
- — квантовий канал; = класичний канал
-  вимірювання

група Кліффорда — породжена вентилями  $H$ ,  $S$  та  $CNOT$

## Теорема Готтесмана-Кніла

Будь-які квантові обчислення, які використовують лише вимірювання у стандартному базисі та вентилях групи Кліффорда можуть бути змодельованими ймовірнісними методами на класичному комп'ютері за поліноміальний час.

+ переплутаність  $\Rightarrow$  квантовий паралелізм

# Модель обчислень

+ переплутаність  $\Rightarrow$  квантовий паралелізм

? унітарність перетворень  $\Rightarrow$  модель обернених обчислень

# Модель обчислень

- + переплутаність  $\Rightarrow$  квантовий паралелізм
- ? унітарність перетворень  $\Rightarrow$  модель обернених обчислень
- дослідження функції як оракула  $\Rightarrow$  стандартна модель

# Модель обчислень

- + переплутаність  $\Rightarrow$  квантовий паралелізм
- ? унітарність перетворень  $\Rightarrow$  модель обернених обчислень
- дослідження функції як оракула  $\Rightarrow$  стандартна модель
- **схемна складність, кількість запитів до оракулу**

# Модель обчислень

- + переплутаність  $\Rightarrow$  квантовий паралелізм
- ? унітарність перетворень  $\Rightarrow$  модель обернених обчислень
- дослідження функції як оракула  $\Rightarrow$  стандартна модель
- схемна складність, кількість запитів до оракулу
- відсутність клонування та інші no-go теореми

# Модель обчислень

- + переплутаність  $\Rightarrow$  квантовий паралелізм
- ? унітарність перетворень  $\Rightarrow$  модель обернених обчислень
- дослідження функції як оракула  $\Rightarrow$  стандартна модель
- схемна складність, кількість запитів до оракулу
- відсутність клонування та інші no-go теореми
- декогеренція (більше зв'язків — більше помилок)

# Модель обчислень

- + переплутаність  $\Rightarrow$  квантовий паралелізм
- ? унітарність перетворень  $\Rightarrow$  модель обернених обчислень
- дослідження функції як оракула  $\Rightarrow$  стандартна модель
- схемна складність, кількість запитів до оракулу
- відсутність клонування та інші no-go теореми
- декогеренція (більше зв'язків — більше помилок)
- помилки реалізації вентилів

# Модель обчислень

- + переплутаність  $\Rightarrow$  квантовий паралелізм
- ? унітарність перетворень  $\Rightarrow$  модель обернених обчислень
- дослідження функції як оракула  $\Rightarrow$  стандартна модель
- схемна складність, кількість запитів до оракулу
- відсутність клонування та інші no-go теореми
- декогеренція (більше зв'язків — більше помилок)
- помилки реалізації вентилів
- помилки представлення перетворень (теорема Соловея-Кітаєва)

# Модель обчислень

- + переплутаність  $\Rightarrow$  квантовий паралелізм
- ? унітарність перетворень  $\Rightarrow$  модель обернених обчислень
- дослідження функції як оракула  $\Rightarrow$  стандартна модель
- схемна складність, кількість запитів до оракулу
- відсутність клонування та інші no-go теореми
- декогеренція (більше зв'язків — більше помилок)
- помилки реалізації вентилів
- помилки представлення перетворень (теорема Соловея-Кітаєва)
- помилки вимірювань

# Модель обчислень

- + переплутаність  $\Rightarrow$  квантовий паралелізм
- ? унітарність перетворень  $\Rightarrow$  модель обернених обчислень
- дослідження функції як оракула  $\Rightarrow$  стандартна модель
- схемна складність, кількість запитів до оракулу
- відсутність клонування та інші no-go теореми
- декогеренція (більше зв'язків — більше помилок)
- помилки реалізації вентилів
- помилки представлення перетворень (теорема Соловея-Кітаєва)
- помилки вимірювань
- коди корекції помилок — щонайменше 5 кубітів (складність відновлення, не повинно вносити більше помилок, ніж виправляє)

# Модель обчислень

- + переплутаність  $\Rightarrow$  квантовий паралелізм
- ? унітарність перетворень  $\Rightarrow$  модель обернених обчислень
- дослідження функції як оракула  $\Rightarrow$  стандартна модель
- схемна складність, кількість запитів до оракула
- відсутність клонування та інші no-go теореми
- декогеренція (більше зв'язків — більше помилок)
- помилки реалізації вентилів
- помилки представлення перетворень (теорема Соловєя-Кітаєва)
- помилки вимірювань
- коди корекції помилок — щонайменше 5 кубітів (складність відновлення, не повинно вносити більше помилок, ніж виправляє)

Квантовий комп'ютер із рівнем фізичних помилок нижче певного порогу може, за допомогою застосування схем квантової корекції помилок, знизити рівень логічних помилок до довільно низьких рівнів.

# Модель обчислень

Quantum Supremacy  $\Rightarrow$  NISQ пристрої  $\Rightarrow$  Quantum Advantage

NISQ — Noisy Intermediate-Scale Quantum



# Задача Дойча

## Задача (Дойча)

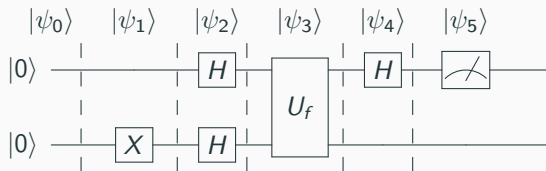
Задана функція  $f: \{0, 1\} \rightarrow \{0, 1\}$  за допомогою чорного ящика. З'ясувати, чи є вона сталою.

*D. Deutsch "Quantum Theory, the Church-Turing Principle and the Universal Quantum Computer" // Proceedings of the Royal Society of London A-400. pp.97-117. 1985.  
doi:10.1098/rspa.1985.0070*

## Розв'язок в класичній моделі обчислень

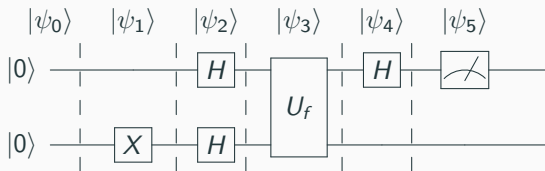
- Будь-який детермінований алгоритм повинен використовувати 2 запити.
- Імовірнісний алгоритм може не використовувати запити до чорного ящика і вгадати правильну відповідь з імовірністю  $\frac{1}{2}$  (за рівномірного розподілу при виборі функції).

# Квантовый алгоритм разв'язку задачі Дойча



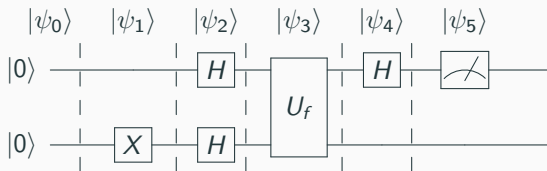
- $|\psi_0\rangle = |0\rangle |0\rangle$

# Квантовый алгоритм разв'язку задачі Дойча



- $|\psi_0\rangle = |0\rangle |0\rangle$
- $|\psi_1\rangle = (I \otimes X) (|\psi_0\rangle) = (I \otimes X) (|0\rangle |0\rangle) = |0\rangle \otimes X(|0\rangle) = |0\rangle |1\rangle$

# Квантовый алгоритм розв'язку задачі Дойча



- $|\psi_0\rangle = |0\rangle |0\rangle$
- $|\psi_1\rangle = (I \otimes X) (|\psi_0\rangle) = (I \otimes X) (|0\rangle |0\rangle) = |0\rangle \otimes X(|0\rangle) = |0\rangle |1\rangle$
- $|\psi_2\rangle = (H \otimes H) (|\psi_1\rangle) = (H \otimes H) (|0\rangle |1\rangle) =$   
 $= \frac{1}{\sqrt{2}} (|0\rangle + |1\rangle) \otimes \frac{1}{\sqrt{2}} (|0\rangle - |1\rangle) = \frac{1}{2} (|0\rangle |0\rangle - |0\rangle |1\rangle + |1\rangle |0\rangle - |1\rangle |1\rangle)$

- $$\begin{aligned} |\psi_3\rangle &= U_f(|\psi_2\rangle) = U_f\left(\frac{1}{2}(|0\rangle|0\rangle - |0\rangle|1\rangle + |1\rangle|0\rangle - |1\rangle|1\rangle)\right) = \\ &= \frac{1}{2}(|0\rangle|0 \oplus f(0)\rangle - |0\rangle|1 \oplus f(0)\rangle + |1\rangle|0 \oplus f(1)\rangle - |1\rangle|1 \oplus f(1)\rangle) = \\ &= \frac{1}{2}(|0\rangle(|0 \oplus f(0)\rangle - |1 \oplus f(0)\rangle) + |1\rangle(|0 \oplus f(1)\rangle - |1 \oplus f(1)\rangle)) = \\ &= \frac{1}{2}(-1)^{f(0)}|0\rangle(|0\rangle - |1\rangle) + (-1)^{f(1)}|1\rangle(|0\rangle - |1\rangle) = \\ &= \frac{1}{2}((-1)^{f(0)}|0\rangle + (-1)^{f(1)}|1\rangle) \otimes (|0\rangle - |1\rangle) \end{aligned}$$

## Квантовий алгоритм розв'язку задачі Дойча

- $|\psi_3\rangle = U_f(|\psi_2\rangle) = U_f(\frac{1}{2}(|0\rangle|0\rangle - |0\rangle|1\rangle + |1\rangle|0\rangle - |1\rangle|1\rangle)) =$   
 $= \frac{1}{2}(|0\rangle|0 \oplus f(0)\rangle - |0\rangle|1 \oplus f(0)\rangle + |1\rangle|0 \oplus f(1)\rangle - |1\rangle|1 \oplus f(1)\rangle) =$   
 $= \frac{1}{2}(|0\rangle(|0 \oplus f(0)\rangle - |1 \oplus f(0)\rangle) + |1\rangle(|0 \oplus f(1)\rangle - |1 \oplus f(1)\rangle)) =$   
 $= \frac{1}{2}(-1)^{f(0)}|0\rangle(|0\rangle - |1\rangle) + (-1)^{f(1)}|1\rangle(|0\rangle - |1\rangle) =$   
 $= \frac{1}{2}((-1)^{f(0)}|0\rangle + (-1)^{f(1)}|1\rangle) \otimes (|0\rangle - |1\rangle)$
- $|\psi_4\rangle = (H \otimes I)(|\psi_3\rangle) =$   
 $= (H \otimes I) (\frac{1}{2}((-1)^{f(0)}|0\rangle + (-1)^{f(1)}|1\rangle)(|0\rangle - |1\rangle)) =$   
 $= \frac{1}{2}H((-1)^{f(0)}|0\rangle + (-1)^{f(1)}|1\rangle) \otimes (|0\rangle - |1\rangle) =$   
 $= \begin{cases} \frac{(-1)^{f(0)}}{\sqrt{2}}|0\rangle \otimes (|0\rangle - |1\rangle), & f(0) = f(1) \\ \frac{(-1)^{f(0)}}{\sqrt{2}}|1\rangle \otimes (|0\rangle - |1\rangle), & f(0) \neq f(1) \end{cases}$

## Квантовый алгоритм разв'язку задачі Дойча

- $|\psi_3\rangle = U_f(|\psi_2\rangle) = U_f\left(\frac{1}{2}(|0\rangle|0\rangle - |0\rangle|1\rangle + |1\rangle|0\rangle - |1\rangle|1\rangle)\right) =$   
 $= \frac{1}{2}(|0\rangle|0 \oplus f(0)\rangle - |0\rangle|1 \oplus f(0)\rangle + |1\rangle|0 \oplus f(1)\rangle - |1\rangle|1 \oplus f(1)\rangle) =$   
 $= \frac{1}{2}(|0\rangle(|0 \oplus f(0)\rangle - |1 \oplus f(0)\rangle) + |1\rangle(|0 \oplus f(1)\rangle - |1 \oplus f(1)\rangle)) =$   
 $= \frac{1}{2}(-1)^{f(0)}|0\rangle(|0\rangle - |1\rangle) + (-1)^{f(1)}|1\rangle(|0\rangle - |1\rangle) =$   
 $= \frac{1}{2}((-1)^{f(0)}|0\rangle + (-1)^{f(1)}|1\rangle) \otimes (|0\rangle - |1\rangle)$
- $|\psi_4\rangle = (H \otimes I)(|\psi_3\rangle) =$   
 $= (H \otimes I)\left(\frac{1}{2}((-1)^{f(0)}|0\rangle + (-1)^{f(1)}|1\rangle)(|0\rangle - |1\rangle)\right) =$   
 $= \frac{1}{2}H((-1)^{f(0)}|0\rangle + (-1)^{f(1)}|1\rangle) \otimes (|0\rangle - |1\rangle) =$   
 $= \begin{cases} \frac{(-1)^{f(0)}}{\sqrt{2}}|0\rangle \otimes (|0\rangle - |1\rangle), & f(0) = f(1) \\ \frac{(-1)^{f(0)}}{\sqrt{2}}|1\rangle \otimes (|0\rangle - |1\rangle), & f(0) \neq f(1) \end{cases}$
- $|\psi_5\rangle = \begin{cases} |0\rangle \otimes \frac{(|0\rangle - |1\rangle)}{\sqrt{2}}, & f(0) = f(1) \\ |1\rangle \otimes \frac{(|0\rangle - |1\rangle)}{\sqrt{2}}, & f(0) \neq f(1) \end{cases}$

# Задача Дойча-Йожи

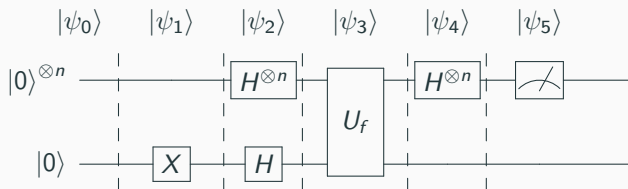
## Задача Дойча-Йожи

Задана функція  $f: \{0, 1\}^n \rightarrow \{0, 1\}$  за допомогою чорного ящика. Відомо апіорі, що функція  $f$  є сталою або збалансованою —  $|f^{-1}(0)| = |f^{-1}(1)| = 2^{n-1}$ . З'ясувати, чи є вона сталою.

- *D. Deutsch, R. Jozsa "Rapid solutions of problems by quantum computation" // Proceedings of the Royal Society of London A-439. pp. 553-558. - 1992. doi:10.1098/rspa.1992.0167*
- *R. Cleve, A. Ekert, C. Macchiavello, M. Mosca "Quantum algorithms revisited" // Proceedings of the Royal Society of London A-454. pp. 339-354. - 1998. doi:10.1098/rspa.1998.0164*

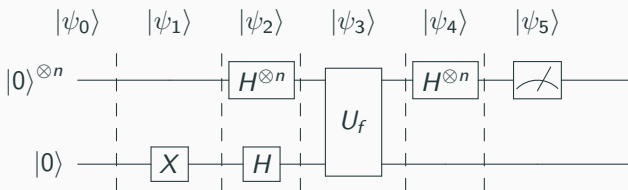
- Тепер будь-який детермінований алгоритм повинен використовувати  $2^{n-1} + 1$  запитів в найгіршому випадку.
- Імовірнісний алгоритм може вибрати довільні два значення і порівняти результати. Помилка  $\frac{1}{2}$  — одностороння.

# Квантовый алгоритм разв'язку задачі Дойча-Йожи



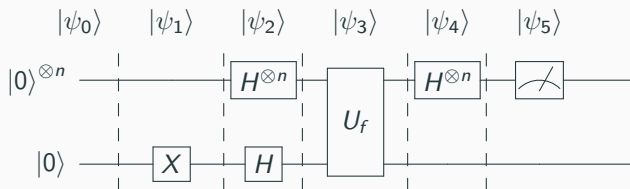
- $|\psi_0\rangle = |0\rangle^{\otimes n} |0\rangle$ ;

# Квантовый алгоритм разв'язку задачі Дойча-Йожи



- $|\psi_0\rangle = |0\rangle^{\otimes n} |0\rangle$ ;
- $|\psi_1\rangle = (I_n \otimes X)(|\psi_0\rangle) = (I_n \otimes X)(|0\rangle^{\otimes n} |0\rangle) = |0\rangle^{\otimes n} \otimes X(|0\rangle) = |0\rangle^{\otimes n} |1\rangle$ ;

# Квантовый алгоритм разв'язку задачі Дойча-Йожи



- $|\psi_0\rangle = |0\rangle^{\otimes n} |0\rangle$ ;
- $|\psi_1\rangle = (I_n \otimes X)(|\psi_0\rangle) = (I_n \otimes X)(|0\rangle^{\otimes n} |0\rangle) = |0\rangle^{\otimes n} \otimes X(|0\rangle) = |0\rangle^{\otimes n} |1\rangle$ ;
- $|\psi_2\rangle = (H_n \otimes H)(|\psi_1\rangle) = (H_n \otimes H)(|0\rangle^{\otimes n} |1\rangle) = \frac{1}{\sqrt{2^{n+1}}} \sum_{x=0}^{2^n-1} |x\rangle (|0\rangle - |1\rangle)$ ;

- $$\begin{aligned} |\psi_3\rangle &= U_f(|\psi_2\rangle) = \frac{1}{\sqrt{2^{n+1}}} \sum_{x=0}^{2^n-1} |x\rangle (|f(x)\rangle - |1 \oplus f(x)\rangle) = \\ &= \frac{1}{\sqrt{2^{n+1}}} \sum_{x=0}^{2^n-1} (-1)^{f(x)} |x\rangle (|0\rangle - |1\rangle) \end{aligned}$$

- $|\psi_3\rangle = U_f(|\psi_2\rangle) = \frac{1}{\sqrt{2^{n+1}}} \sum_{x=0}^{2^n-1} |x\rangle (|f(x)\rangle - |1 \oplus f(x)\rangle) =$   
 $= \frac{1}{\sqrt{2^{n+1}}} \sum_{x=0}^{2^n-1} (-1)^{f(x)} |x\rangle (|0\rangle - |1\rangle)$
- $|\psi_4\rangle = (H_n \otimes I)(|\psi_3\rangle) =$   
 $= \frac{1}{2^n} \sum_{x=0}^{2^n-1} (-1)^{f(x)} \sum_{y=0}^{2^n-1} (-1)^{x \cdot y} |y\rangle \otimes (|0\rangle - |1\rangle)$

- $|\psi_3\rangle = U_f(|\psi_2\rangle) = \frac{1}{\sqrt{2^{n+1}}} \sum_{x=0}^{2^n-1} |x\rangle (|f(x)\rangle - |1 \oplus f(x)\rangle) =$   
 $= \frac{1}{\sqrt{2^{n+1}}} \sum_{x=0}^{2^n-1} (-1)^{f(x)} |x\rangle (|0\rangle - |1\rangle)$
- $|\psi_4\rangle = (H_n \otimes I)(|\psi_3\rangle) =$   
 $= \frac{1}{2^n} \sum_{x=0}^{2^n-1} (-1)^{f(x)} \sum_{y=0}^{2^n-1} (-1)^{x \cdot y} |y\rangle \otimes (|0\rangle - |1\rangle)$
- $Pr\{|\psi_5\rangle = |0^{\otimes n}\rangle\} = \left| \frac{1}{2^n} \sum_{y=0}^{2^n-1} \sum_{x=0}^{2^n-1} (-1)^{f(x)} (-1)^{x \cdot y} \right|^2 =$   
 $= \left| \frac{1}{2^n} \sum_{x=0}^{2^n-1} (-1)^{f(x)} \right|^2 = \begin{cases} 1, & f - \text{стала} \\ 0, & f - \text{збалансована} \end{cases}$

# Розвиток задачі Дойча

- *D. Deutsch "Quantum Theory, the Church-Turing Principle and the Universal Quantum Computer" // Proceedings of the Royal Society of London A-400. pp.97-117. - 1985. doi:10.1098/rspa.1985.0070*

Оригінальний розв'язок не є детермінованим, а має ймовірність успіху  $\frac{1}{2}$ .

- *D. Deutsch, R. Jozsa "Rapid solutions of problems by quantum computation" // Proceedings of the Royal Society of London A-439. pp. 553-558. - 1992. doi:10.1098/rspa.1992.0167*

Детермінований розв'язок, але два запити до оракула.

- *R. Cleve, A. Ekert, C. Macchiavello, M. Mosca "Quantum algorithms revisited" // Proceedings of the Royal Society of London A-454. pp. 339-354. - 1998. doi:10.1098/rspa.1998.0164*

Покращений детермінований розв'язок задачі Дойча-Йожи з одним запитом до оракула.

# Задача Бернштейна-Вазірані

## Задача Бернштейна-Вазірані

Задана функція  $f: \{0,1\}^n \rightarrow \{0,1\}$  за допомогою чорного ящика. Відомо, що  $f(x) = s \cdot x \pmod{2}$  для деякого фіксованого невідомого  $s$ . Знайти значення  $s$ .

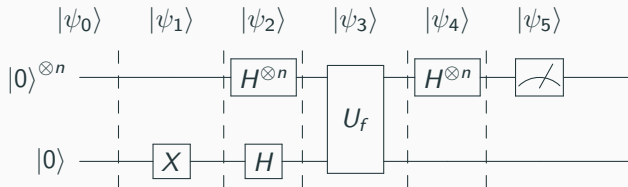
*E. Bernstein, U. Vazirani "Quantum complexity theory" // SIAM Journal on Computing, 26(5) pp. 1411-1473. 1997*

## Розв'язок в класичній моделі обчислень

Один запит — один біт інформації.

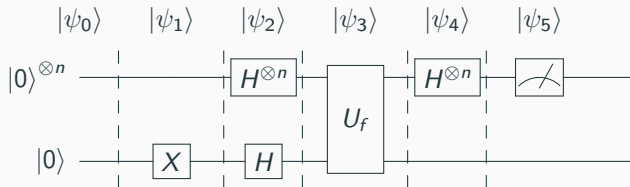
Зробити  $n$  запитів за всіма векторами з вагою 1.  
(навіть в межах BPP)

# Квантовий алгоритм розв'язку задачі Бернштейна-Вазірані



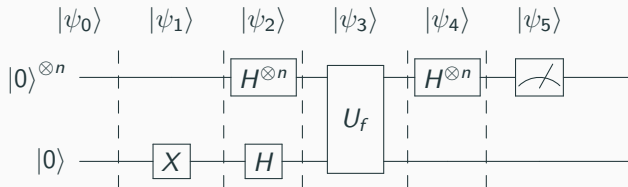
- $|\psi_1\rangle = |0\rangle^{\otimes n} |1\rangle$

# Квантовий алгоритм розв'язку задачі Бернштейна-Вазірані



- $|\psi_1\rangle = |0\rangle^{\otimes n} |1\rangle$
- $|\psi_2\rangle = \frac{1}{\sqrt{2^{n+1}}} \sum_{x=0}^{2^n-1} |x\rangle (|0\rangle - |1\rangle)$

# Квантовий алгоритм розв'язку задачі Бернштейна-Вазірані



- $|\psi_1\rangle = |0\rangle^{\otimes n} |1\rangle$
- $|\psi_2\rangle = \frac{1}{\sqrt{2^{n+1}}} \sum_{x=0}^{2^n-1} |x\rangle (|0\rangle - |1\rangle)$
- $|\psi_4\rangle = \frac{1}{2^n} \sum_{y=0}^{2^n-1} \sum_{x=0}^{2^n-1} (-1)^{f(x)+x \cdot y} |y\rangle \otimes \frac{(|0\rangle - |1\rangle)}{\sqrt{2}} = |s\rangle \otimes \frac{(|0\rangle - |1\rangle)}{\sqrt{2}}$

# Задача Саймона

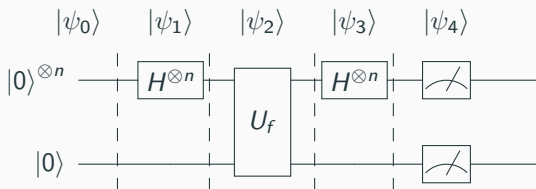
Задана функція  $f : \{0, 1\}^n \rightarrow \{0, 1\}^n$  за допомогою чорного ящика. Відомо, що  $f(x) = f(y) \Leftrightarrow x \oplus y \in \{0, s\}$  для деякого фіксованого невідомого  $s$ . Якщо  $s = 0(0..0)$ , то має місце варіант '1-1', інакше – варіант '2-1'. Визначити до якого варіанту належить задана функція. (Знайти значення  $s$ .)

*Simon, D.R. "On the power of quantum computation" // Foundations of Computer Science, Proceedings of 35th Annual Symposium pp. 116-123. - 1994*

**Розв'язок в класичній моделі обчислень**

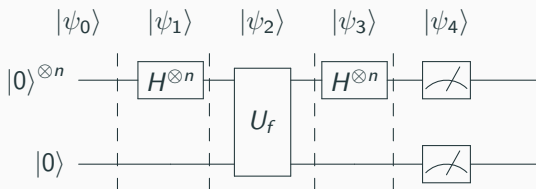
Навіть з імовірнісним алгоритмом —  $\mathcal{O}(\sqrt{2^n})$  запитів.

# Квантовий алгоритм розв'язку задачі Саймона



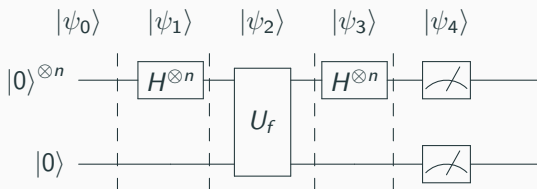
- $|\psi_2\rangle = \frac{1}{\sqrt{2^n}} \sum_{x=0}^{2^n-1} |x\rangle |f(x)\rangle$

# Квантовий алгоритм розв'язку задачі Саймона



- $|\psi_2\rangle = \frac{1}{\sqrt{2^n}} \sum_{x=0}^{2^n-1} |x\rangle |f(x)\rangle$
- $|\psi_3\rangle = \frac{1}{2^n} \sum_{y=0}^{2^n-1} |y\rangle \sum_{x=0}^{2^n-1} (-1)^{x \cdot y} |f(x)\rangle$

# Квантовий алгоритм розв'язку задачі Саймона



- $|\psi_2\rangle = \frac{1}{\sqrt{2^n}} \sum_{x=0}^{2^n-1} |x\rangle |f(x)\rangle$
- $|\psi_3\rangle = \frac{1}{2^n} \sum_{y=0}^{2^n-1} |y\rangle \sum_{x=0}^{2^n-1} (-1)^{x \cdot y} |f(x)\rangle$
- 1-1  $Pr \{y = k\} = \frac{1}{2^n}$
- 2-1  $Pr \{y = k\} = \begin{cases} \frac{1}{2^{n-1}}, & k \cdot s - \text{парне} \\ 0, & k \cdot s - \text{непарне} \end{cases}$

$y_1, \dots, y_{n-1}$  — лін. незалежні з імовірністю 0.289

# Алгоритм Шора факторизації цілих чисел

# Зведення задачі факторизації до пошуку періоду

## Задача факторизації цілих чисел

Для заданого складеного числа  $n$  знайти один з його нетривіальних дільників (знайти таке натуральне число  $d$ ,  $1 < d < n$ , що  $d|n$ ).

- $n$  – парне число  $\Rightarrow d = 2$

- $n$  – просте число більше 2

Перевіряється окремо за допомогою алгоритму AKS (детермінований) або Міллера-Рабіна (ймовірнісний).

- $n$  – степінь простого числа більше 2

$$n = p^k, p \geq 2, k \leq \log_2 n.$$

Обчислюються всі  $m = \left\lceil n^{\frac{1}{k}} \right\rceil$  і перевіряється тотожність  $m^k = n$ .

*D. Bernstein "Detecting perfect powers in essentially linear time" // Mathematics of Computation 67. - 1998. pp.1253-1283*

Далі вважаємо, що  $n$  — непарне і має не менше двох різних простих дільників.

## Зведення задачі факторизації до пошуку періоду

### Твердження

Для складеного числа  $n$  за значенням нетривіального квадратного кореня з 1 за модулем  $n$  (не  $+1$ , і не  $-1$ ) обчислюється значення нетривіального дільника числа  $n$ .

### Доведення.

$x^2 = 1 \pmod{n} \Rightarrow (x - 1)(x + 1) = 0 \pmod{n} \Rightarrow$   
 $\text{НСД}(n, x + 1) = d > 1.$  □

# Зведення задачі факторизації до пошуку періоду

## Твердження

Для складеного числа  $n$  за значенням нетривіального квадратного кореня з 1 за модулем  $n$  (не  $+1$ , і не  $-1$ ) обчислюється значення нетривіального дільника числа  $n$ .

## Доведення.

$x^2 = 1 \pmod{n} \Rightarrow (x-1)(x+1) = 0 \pmod{n} \Rightarrow$   
НСД( $n, x+1$ ) =  $d > 1$ . □

## Твердження

Якщо  $n$  — непарне число, то, щонайменше, половина елементів мультиплікативної групи  $Z_n^*$  належить парному показнику.

## Доведення.

Для кожного  $x \in Z_n^*$  з непарним показником  $ord(x) = r$  елемент  $(-x) \in Z_n^*$  має парний порядок.  
 $(-x)^r = (-1)^r x^r = -1 \pmod{n}$  □

# Зведення задачі факторизації до пошуку періоду

## Теорема

Нехай  $n = p_1^{\alpha_1} p_2^{\alpha_2} \dots p_k^{\alpha_k}$  – канонічний розклад непарного числа. Тоді ймовірність того, що (рівномірно) випадково обраний елемент  $x \in \mathbb{Z}_n^*$  належить парному показнику  $r$  і  $x^{\frac{r}{2}} \not\equiv -1 \pmod{n}$ , більша або дорівнює величині  $1 - \frac{1}{2}^{k-1}$ .

## Доведення.

Китайська теорема про залишки –  $x_i \in \mathbb{Z}_{p_i^{\alpha_i}}^*$  з порядками  $r_i$ ,  $i = \overline{1, k}$ .  
 $r = \text{НСК}(r_1, \dots, r_k)$ .

$r$  – непарне, коли всі  $(r_1, \dots, r_k)$  – непарні.

Якщо  $r$  – парне, то  $x^{\frac{r}{2}} \equiv \pm 1 \pmod{n} \Leftrightarrow x^{\frac{r}{2}} \equiv \pm 1 \pmod{p_i^{\alpha_i}}$  для кожного  $p_i$ . Імовірність цього  $2^{-k}$ . Загальна ймовірність вдалого вибору  $(1 - 2^{-k})(1 - 2^{-k}) \geq 1 - 2^{-k+1}$ . □

Якщо  $n = pq$ , то ймовірність вдалої факторизації не менша за  $\frac{1}{2}$ .

# Дискретне перетворення Фур'є

Нехай  $x = (x_0, x_1, \dots, x_N)$ ,  $\hat{x} = (\hat{x}_0, \dots, \hat{x}_N) \in \mathbb{C}^N$ .

## Означення

**(Прямим) дискретним перетворенням Фур'є (DFT)** називають

відображення  $x \mapsto \hat{x}$ , де  $\hat{x}_k = \frac{1}{\sqrt{N}} \sum_{j=0}^{N-1} x_j e^{-2\pi ijk/N}$ .

**Зворотним дискретним перетворенням Фур'є (IDFT)** називають

відображення  $\hat{x} \mapsto x$ , де  $x_k = \frac{1}{\sqrt{N}} \sum_{j=0}^{N-1} \hat{x}_j e^{2\pi ijk/N}$ .

Складність  $\mathcal{O}(N^2)$  або апроксимаційні алгоритми, як Кулі-Тьюкі мають оцінку складності  $\mathcal{O}(N \log N)$

# Дискретне перетворення Фур'є

Нехай  $\omega_N = e^{-2\pi i/N}$ ,  $\omega_N^N = 1$ .

Матриця перетворення DFT має вигляд

$$\frac{1}{\sqrt{N}} \begin{pmatrix} 1 & 1 & 1 & \dots & 1 \\ 1 & \omega_N & \omega_N^2 & \dots & \omega_N^{N-1} \\ \vdots & \vdots & \vdots & \ddots & \vdots \\ 1 & \omega_N^{N-1} & \omega_N^{2(N-1)} & \dots & \omega_N^{(N-1)(N-1)} \end{pmatrix} \text{ — лінійний оператор}$$

**Приклад  $N = 2$**

$$DFT_2 = \frac{1}{\sqrt{2}} \begin{pmatrix} 1 & 1 \\ 1 & -1 \end{pmatrix} \text{ — перетворення Уолша-Адамара}$$

## Приклад $N = 4$

$$DFT_4 = \frac{1}{2} \begin{pmatrix} 1 & 1 & 1 & 1 \\ 1 & i & -1 & -i \\ 1 & -1 & 1 & -1 \\ 1 & -i & -1 & 1 \end{pmatrix}$$
$$\frac{1}{2} \begin{pmatrix} 1 & 1 & 1 & 1 \\ 1 & i & -1 & -i \\ 1 & -1 & 1 & -1 \\ 1 & -i & -1 & 1 \end{pmatrix} \left[ \frac{1}{2} \begin{pmatrix} 1 \\ 1 \\ 1 \\ 1 \end{pmatrix} \right] = \begin{pmatrix} 1 \\ 0 \\ 0 \\ 0 \end{pmatrix}$$

# Квантове перетворення Фур'є

Нехай  $\{|0\rangle, |1\rangle, \dots, |N-1\rangle\}$  — ортонормований базис квантової системи і вектор стану  $|\psi\rangle = \sum_{j=0}^{N-1} \alpha_j |j\rangle$

## Означення

Квантовим перетворенням Фур'є (QFT) називають відображення

$$|\psi\rangle \mapsto |\hat{\psi}\rangle, \text{ де } |\hat{\psi}\rangle = \sum_{k=0}^{N-1} \frac{1}{\sqrt{N}} \sum_{j=0}^{N-1} \omega^{-jk} |k\rangle.$$

$$|j\rangle = \frac{1}{\sqrt{N}} \sum_{k=0}^{N-1} \omega^{-jk} |k\rangle$$

$$QFT_N = \frac{1}{\sqrt{N}} \sum_{j,k=0}^{N-1} \omega^{-jk} |k\rangle \langle j|$$

# Властивості квантового перетворення Фур'є

## Теорема

Квантове перетворення Фур'є є унітарним.

## Доведення.

$$\omega_N^* = \omega_N^{-1}. \quad \sum_{k=0}^{N-1} \omega_N^{ks} = \frac{\omega_N^{Ns} - 1}{\omega_N^s - 1} = 0$$

$$QFT_N^+ = \frac{1}{\sqrt{N}} \sum_{j,k=0}^{N-1} \omega^{jk} |k\rangle \langle j|.$$

$$\begin{aligned} QFT_N QFT_N^+ &= \frac{1}{\sqrt{N}} \sum_{j,k=0}^{N-1} \omega^{-jk} |k\rangle \langle j| \frac{1}{\sqrt{N}} \sum_{r,s=0}^{N-1} \omega^{rs} |r\rangle \langle s| = \\ &= \frac{1}{N} \sum_{j,k,r,s=0}^{N-1} \omega^{rs-jk} |k\rangle \langle j| |r\rangle \langle s| = \frac{1}{N} \sum_{j,k,r,s=0}^{N-1} \omega^{rs-jk} \delta_{jr} |k\rangle \langle s| = \\ &= \frac{1}{N} \sum_{j,k,s=0}^{N-1} \omega^{j(s-k)} |k\rangle \langle s| = \sum_{k,s=0}^{N-1} \delta_{ks} |k\rangle \langle s| = \sum_{k=0}^{N-1} |k\rangle \langle k| = I \quad \square \end{aligned}$$

# Властивості квантового перетворення Фур'є

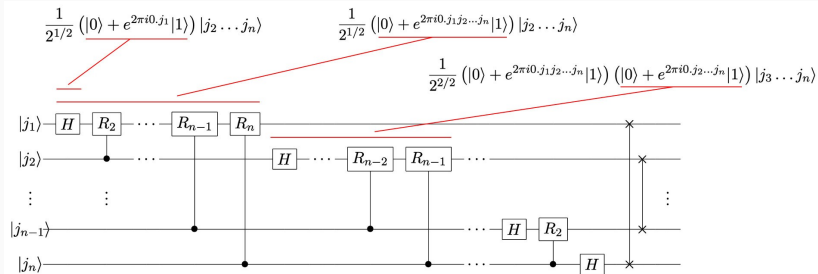
*D. Coppersmith "An approximate Fourier transform useful in quantum factoring" //*

*Technical Report RC19642, IBM. 1994*

$$j = j_1 j_2 \dots j_n = j_1 2^{n-1} + j_2 2^{n-2} + \dots + j_n$$

$$0.j_l j_{l+1} \dots j_m = j_l / 2 + j_{l+1} / 4 + \dots + j_m / 2^{m-l+1}$$

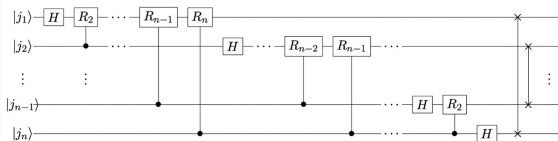
$$QFT(|j_1 j_2 \dots j_n\rangle) = \frac{(|0\rangle + e^{2\pi i 0 \cdot j_n} |1\rangle)(|0\rangle + e^{2\pi i 0 \cdot j_{n-1} j_n} |1\rangle) \dots (|0\rangle + e^{2\pi i 0 \cdot j_1 j_2 \dots j_n} |1\rangle)}{2^{n/2}}$$



# Властивості квантового перетворення Фур'є

$$R_k = \begin{pmatrix} 1 & 0 \\ 0 & e^{2\pi i/2^k} \end{pmatrix}$$

$\mathcal{O}(n^2)$  квантових вентилів



$$\tilde{\alpha}_k \equiv \frac{1}{\sqrt{N}} \sum_{j=0}^{N-1} e^{2\pi i j k / N} \alpha_j$$

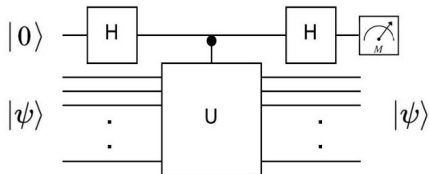
# Оцінка фази

$$U|\psi\rangle = e^{2\pi i\phi} |\psi\rangle, 0 \leq \phi < 1$$

eigenvector

complex eigenvalue

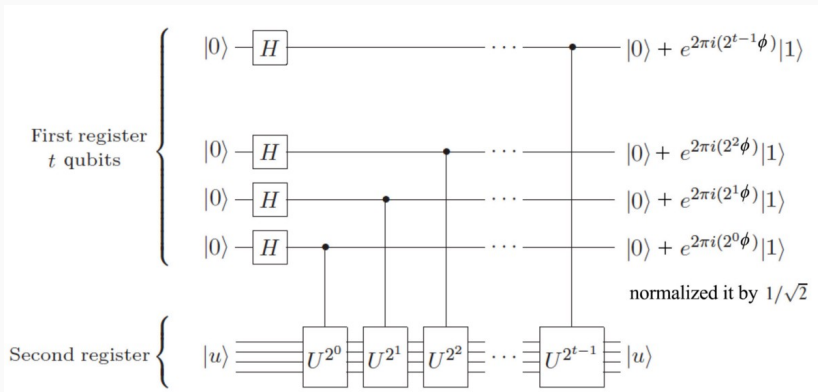
За відомими значеннями оператора  $U$  і власного вектора  $|\psi\rangle$  можна оцінити значення  $\phi$  за допомогою такої квантової схеми



$$\langle\psi|U + U^\dagger|\psi\rangle / 2 = \frac{1}{2}(e^{2\pi i\phi} + e^{-2\pi i\phi}) = \cos(2\pi\phi)$$

# Оцінка фази

A.Yu. Kitaev "Quantum measurements and the Abelian Stabilizer Problem", 1995



$$2^1\phi = \phi_1 \cdot \phi_2 \dots \phi_t$$

$$e^{2\pi i\phi_1 \cdot \phi_2 \dots \phi_t} = e^{2\pi i0 \cdot \phi_2 \dots \phi_t} \Rightarrow QFT^{-1}$$

*P.W. Shor "Polynomial-Time Algorithms for Prime Factorization and Discrete Logarithms on a Quantum Computer" // SIAM Journal on Computing. Vol. 26. Iss.5. 1997. pp. 1484-1509*

Функція  $f(x) = a^x \pmod{N}$  — періодична.

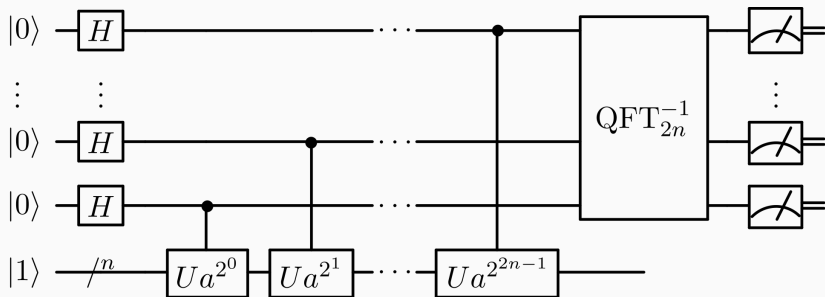
$$U|y\rangle = |xy \pmod{N}\rangle$$

$$U|u_s\rangle = e^{\frac{2\pi is}{r}} |u_s\rangle$$

Власний вектор  $|u_s\rangle = \frac{1}{\sqrt{r}} \sum_{k=0}^{r-1} e^{\frac{-2\pi isk}{r}} |x^k \pmod{N}\rangle$  ( $r$  — період)

Власний вектор є невідомим, але  $\sum_x |x\rangle |f(x)\rangle$

# Алгоритм Шора



# Алгоритм Шора

$$f(x) = a^x \pmod{N}, (a, N) = 1, Q = 2^q, N^2 \leq Q < 2N^2, \omega = e^{\frac{2\pi i}{Q}}, \\ a^r = 1 \pmod{N}, \left(\frac{Q}{r} > N\right)$$

$$\textcircled{1} \frac{1}{\sqrt{Q}} \sum_{x=0}^{Q-1} |x\rangle |f(x)\rangle;$$

$$\textcircled{2} \frac{1}{Q} \sum_{x=0}^{Q-1} \sum_{y=0}^{Q-1} \omega^{xy} |y\rangle |f(x)\rangle = \frac{1}{Q} \sum_{z=0}^{N-1} \sum_{y=0}^{Q-1} \sum_{x \in \{0, \dots, Q-1\}; f(x)=z} \omega^{xy} |y\rangle |z\rangle;$$

$$\textcircled{3} \sum_{x \in \{0, \dots, Q-1\}; f(x)=z} \omega^{xy} = \omega^{x_0 y} \sum_{t=0}^{\lfloor (Q-x_0-1)/r \rfloor} \omega^{rty}, f(x_0 = z);$$

- $\textcircled{4}$  Імовірність істотно більша для цілих значень близьких до  $\frac{yr}{Q}$ .  
Існує ціле значення  $d$  таке, що для результату вимірювання у  $-\frac{r}{2} \leq ry - dQ \leq \frac{r}{2}$  або  $\left| \frac{y}{Q} - \frac{d}{r} \right| \leq \frac{1}{2Q}$ .

# Приклад алгоритму Шора. Факторизація числа 21

Обираємо “випадково” число  $a = 4$  і будемо використовувати функцію  $f: \mathbb{Z}_{21} \rightarrow \mathbb{Z}_{21}$ . Нехай  $\omega = e^{\frac{2\pi i}{21}}$ .

- $|\psi_0\rangle = |0\rangle |0\rangle$ ;
- $|\psi_1\rangle = (H \otimes I) |\psi_0\rangle = \frac{1}{\sqrt{21}} \sum_{j=0}^{20} |j\rangle |0\rangle$ ;
- $|\psi_2\rangle = (U_f) |\psi_1\rangle = \frac{1}{\sqrt{21}} \sum_{j=0}^{20} |j\rangle |4^j \pmod{21}\rangle =$   
 $\frac{1}{\sqrt{21}} ((|0\rangle + |3\rangle + |6\rangle + |9\rangle + |12\rangle + |15\rangle + |18\rangle) |1\rangle +$   
 $(|1\rangle + |4\rangle + |7\rangle + |10\rangle + |13\rangle + |16\rangle + |19\rangle) |4\rangle +$   
 $(|2\rangle + |5\rangle + |8\rangle + |11\rangle + |14\rangle + |17\rangle + |20\rangle) |16\rangle)$ ;

# Приклад алгоритму Шора. Факторизація числа 21

- $|\psi_{3s}\rangle = \frac{1}{\sqrt{7}} \sum_{k=0}^6 |s + 3k\rangle$  з ймовірністю  $\frac{1}{3}$ ,  $s \in \{0, 1, 2\}$ ;
- $|\psi_{4s}\rangle = (QFT) |\psi_{3s}\rangle = \frac{1}{\sqrt{21 \cdot 7}} \sum_{j=0}^{20} \sum_{k=0}^6 \omega^{j \cdot (s+3k)} |j\rangle = \frac{1}{\sqrt{3}} (|0\rangle + \omega_3^s |7\rangle + \omega_3^{2s} |14\rangle)$ , где  $\omega_3 = e^{\frac{2\pi i}{3}}$ ;

$$\frac{1}{\sqrt{21 \cdot 7}} \sum_{j=0}^{20} |j\rangle \sum_{k=0}^6 \omega^{j \cdot (s+3k)} = \frac{1}{\sqrt{21 \cdot 7}} \sum_{j=0}^{20} |j\rangle \omega^{js} \sum_{k=0}^6 (\omega^{3j})^k =$$

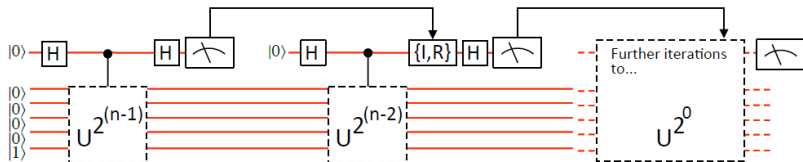
$$\frac{1}{\sqrt{21 \cdot 7}} \sum_{j=0}^{20} |j\rangle \omega^{js} \frac{(\omega^{3j})^7 - 1}{\omega^{3j} - 1} = \begin{cases} 0, & (j, 21) = 1 \\ \frac{1}{\sqrt{3}} (|0\rangle + \omega_3^s |7\rangle + \omega_3^{2s} |14\rangle), & (j, 21) \neq 1 \end{cases}$$

# Алгоритм Шора з оцінкою фази

- 1  $|0\rangle |0\rangle;$
- 2  $\frac{1}{\sqrt{Q}} \sum_{x=0}^{Q-1} |x\rangle |0\rangle;$
- 3  $\frac{1}{\sqrt{Q}} \sum_{x=0}^{Q-1} |x\rangle |a^x \pmod{N}\rangle \approx \frac{1}{\sqrt{rQ}} \sum_{s=0}^{r-1} \sum_{x=0}^{Q-1} e^{2\pi i s x / r} |x\rangle |u_s\rangle;$
- 4  $\frac{1}{\sqrt{r}} \sum_{s=0}^{r-1} |s/r\rangle |u_s\rangle;$
- 5  $\frac{s}{r}.$

Складність —  $3 \log N$  кубітів,  $72(\log N)^3$  вентилів  
з довжиною 4096 — необхідно  $12 \cdot 10^3$  кубітів,  $5 \cdot 10^{12}$  вентилів

# Повторне використання кубітів



- *C. Zalka "Shor's algorithm with fewer (pure) qubits" // arXiv, Quantum Physics Archive, preprint arXiv:quant-ph/0601097. 2006*  
Кількість кубітів з  $3 \log N$  до  $2 + \frac{3}{2} \log N$
- *R. Griffiths "Semiclassical fourier transform for quantum computation" // Physical Review Letters. 1996. Vol. 76. pp. 3228-3231*  
Напівкласичне перетворення Фур'є  
**скомпільована** (англ. compiled) версія алгоритму Шора

# Рекорди розкладу цілих чисел

*Geller M., Zhou M. Factoring 51 and 85 with 8 qubits // Scientific Reports 3. - Article number: 3023. - 2013.*

51 і 85, використовуючи 8 кубітів (два простих числа Ферма  $2^{2^k} + 1$ )

*Dattani N.S. Bryans N. Quantum factorization of 56153 with only 4 qubits arXiv, Quantum Physics Archive, preprint arXiv:1411.6758*

Розклад 3599, 13081 і 44929 за допомогою 4 кубітів (11663, 56153).

*Smolin J., Smith G., Vargo A. Oversimplifying quantum factoring // Nature. - Vol. 499. - 2013. - pp. 163-165.*

$N = pq \Rightarrow a = \pm pu \pm qv \pmod{N}$

Нехай лінійна комбінація двох різних простих чисел  $p, q > 2$  має вигляд  $pu + qv = 1$ . Тоді числа  $a_1 = p|u| + q|v| \pmod{pq}$  та  $a_2 = -p|u| - q|v| \pmod{pq}$  задовольняють умовам алгоритму Шора для розкладу числа  $pq$ .

# Рекорди розкладу цілих чисел

291671182797429668031238852475522871688313947376048780905692029718761486852448217934002726713911166371797  
823037153309607038344386466504630862009885095835374063388681538740854573756984763365675961063107294541261  
806829519212252073625252903729164826939229937268358140359202760839878449283619825089409830663201790231806  
079119897925442388701635424676834454449169557409382254448047969411210843240836003242949956725155766531591  
397325634102511082189598034323906385311764688954392262917740666322904413249593651934711799245497736039481  
750101433275466592091275240471562574012639325274407937359939565997644744888626879352338627750927370817686  
271715608250848461172910192500124917913043084723760200336962254544736449976934826280451094033729173560884  
058188062023742430582144250820444777844681739901154940610653493348042966703361173095306299887840788681  
217417814282138915069422701432482750933666279646514052254545839838715655752643620706192459952534043354084  
062740942515415079304899622236020309293036917120046158647471446922111430611051173311410550623233573244601  
0286889284466398537179695288793510324635760076663279396564078367435242103498981445692558198809741901893058  
1014524182488817644037735154215233151043167333359083190619294450557291339258651465910715914216791319911970  
36305913625990498340745831402502383286163265233896123108795520636876488919869043697803547259539747873851072  
2322383211401713851322053177078928032986060859457771425731786827039909627182855167303553935052868995459  
481639618250097532955889761521091916881160108973576741687506504928708481015771024513106052679760752953335  
292134072196648709023888502399907186263270398930579644463527329155302416455167735601326232034586362597963  
683565503330431101730267869585370352143455420773361502648167179815130162479547215804270738259975418409318  
598081646350115947243309399130076505682455023838703680414534592637547594063538536874774558232334209018900  
151008780563978594746107730415174106118082092193466548051994311811556316244195693739250245197404025486611  
223957323511178848684801733032329576450052397141086062710820646635559717986354779769104254700368849278323  
727899529247902827559707615608104096353724721669864028916109266665493363128468922733083829871892871854559  
516121565406571703650646031077937841521038796655197020571602953550481648581133254568066497818991525368074  
432934861658997706168350104556565691587005874469526027836016177522657920774760854286309928960827240756330  
9354503643133725509984427324705020884259155657399399888072649023229271194257614583650546246141499905055398  
633961409600561303872559487012972039610994034160578234626153165954484224573863382032435827372746454973165  
965084167556797862383383491773409103737609815814399157403624761116296266450543918477712211905499813227552  
39542781839338054517185352342865146072342422069856036865359906907111132635831383925586458669641131596592  
954590417017548195376147733836712111933279383984906913410781574912799816316130066217895794498685460845656  
0965339371316449714018470442186546112313179549889493252737827208565981682673042118594921844338103577506416  
583227485911971960752407996380394613392693586579479042999890479523377043168508083752471378073903819383903  
149307105685297079550995448497579673689612767821836425167994260876331434188079806541315543585859612422260

448659775298153401889818280673621531148964935427419771745240603650618265144062683973413259347974271011183

## Задача про приховану підгрупу

# Задача про приховану підгрупу (HSP)

## Задача про приховану підгрупу, The Hidden Subgroup Problem, HSP

Нехай задано множину твірних елементів групи  $G$ , деяку скінченну множину  $S$  і відображення  $f : G \rightarrow S$  (задане за допомогою оракула — чорного ящика) з додатковою умовою, що існує така підгрупа  $H \subseteq G$ , що  $\forall g_1, g_2 \in G$  виконується тотожність  $f(g_1) = f(g_2) \Leftrightarrow g_1^{-1}g_2 \in H$  (будемо говорити, що функція  $f$  **приховує** підгрупу  $H$ ). Необхідно знайти множину твірних елементів підгрупи  $H$ , використовуючи запити до оракула обчислення функції  $f$ .

## Властивості

- $H$  відновлюється за таблицею значень функції  $f$  –  $f(e) = f(h) \Leftrightarrow h \in H$ ;
- $\forall h_1, h_2 \in H: f(h_1) = f(h_2)$ ;
- $g \in G, g \notin H : f(g) = f(x) \Leftrightarrow x \in gH$  (класи суміжності);

# Задача про приховану підгрупу (HSP)

## Ефективний розв'язок

Розв'язок задачі HSP будемо називати **ефективним**, якщо його складність обмежена зверху деяким поліномом від величини  $\lceil \log |G| \rceil$

## Теорема

Нехай у групі  $G$  є клас  $W$  з  $N$  підгруп, загальним елементом яких є тільки нейтральний елемент. У класичній моделі, в загальному випадку, необхідно  $O(\sqrt{N})$  запитів до оракула для розв'язку задачі HSP.

## Доведення.

$l$ -ий запит у вигляді  $g_l$ . Якщо існує підгрупа  $H \in W$ :

$\forall j, k, 1 \leq j < k \leq l : g_k \notin g_j H$ , то видати значення  $l$ . Необхідно

близько  $t$  запитів, щоб отримати близько  $C_t^2$  елементів виду  $g_k g_j^{-1}$ .

Щоб гарантувати потрібно  $C_t^2 > N$ . □

# Задача про приховану підгрупу (HSP)

## Зауваження

У класичній моделі обчислень існують часткові випадки з поліном. кількістю запитів. Наприклад, можна ефективно перевірити чи є підгрупа прихованої  $\Rightarrow$  мала кількість запитів для  $\mathbb{Z}_p$ ,  $p$  — просте, (2 підгрупи);  $\mathbb{Z}_{2^n}$  ( $n + 1$  підгрупа).

Якщо в умовах задачі HSP група  $G$  —

- абелева, то будемо говорити **абелева задача про приховану підгрупу** або AHSP (операція '+');
- дієдральна, то будемо говорити **дієдральна задача про приховану підгрупу** або DHSP;

# Задача Дойча як ANSP

## Задача Дойча

Задана функція  $\varphi : \{0, 1\} \rightarrow \{0, 1\}$  за допомогою чорного ящика.  
З'ясувати, чи є вона сталою.

- $G = \mathbb{Z}_2 = (\{0, 1\}, \oplus)$
- $S = \{0, 1\}$
- $f : \{0, 1\} \rightarrow \{0, 1\}$ ,  $f = \varphi$ , задана як оракул
- якщо  $\varphi$  – стала,  $H = \mathbb{Z}_2$
- якщо  $\varphi$  – не є сталою,  $H = (0, \oplus)$

$$x^{-1}y = x \oplus y$$

# Задача Дойча-Йожи як ANSP

## Задача Дойча-Йожи

Задана функція  $\varphi : \{0, 1\}^n \rightarrow \{0, 1\}$  за допомогою чорного ящика. Відомо апіорі, що функція  $f$  є сталою або збалансованою –  $|\varphi^{-1}(0)| = |\varphi^{-1}(1)| = 2^{n-1}$ . З'ясувати, вона є сталою чи збалансованою.

- $G = \mathbb{Z}_2^n = (\{0, 1\}^n, \oplus)$
- $S = \{0, 1\}$
- $f : \{0, 1\} \rightarrow \{0, 1\}$ ,  $f = \varphi$ , задана як оракул
- якщо  $\varphi$  – стала,  $|H| = |G|$
- якщо  $\varphi$  – збалансована,  $|H| = \frac{|G|}{2}$

$$x^{-1}y = x \oplus y$$

# Задача Бернштейна-Вазірані як ANSP

## Задача Бернштейна-Вазірані

Задана функція  $\varphi : \{0, 1\}^n \rightarrow \{0, 1\}$  за допомогою чорного ящика. Відомо, що  $\varphi(x) = s \cdot x = (s_{n-1}x_{n-1} \oplus s_{n-2}x_{n-2} \oplus \dots)$  для деякого фіксованого невідомого значення  $s$ . Знайти значення  $s$ .

- $G = \mathbb{Z}_2^n = (\{0, 1\}^n, \oplus)$
- $S = \{0, 1\}$
- $f : \{0, 1\}^n \rightarrow \{0, 1\}$ ,  $f = \varphi$ , задана як оракул
- $H = \{y \in \mathbb{Z}_2^n \mid s \cdot y = 0\}$

$$\varphi(g_1) = \varphi(g_2) \Rightarrow s \cdot g_1 = s \cdot g_2$$

# Задача Саймона як AHSP

## Задача Саймона

Задана функція  $\varphi : \{0, 1\}^n \rightarrow \{0, 1\}^n$  за допомогою чорного ящика. Відомо, що  $\varphi(x) = \varphi(y)$  тїтток  $x \oplus y \in \{0^n, s\}$  для деякого фіксованого невідомого  $s$ . Якщо  $s = 0^n$ , то має місце варіант '1-1', інакше – варіант '2-1'. Визначити до якого варіанту належить задана функція. (Знайти значення  $s$ .)

- $G = \mathbb{Z}_2^n = (\{0, 1\}^n, \oplus)$
- $S = \{0, 1\}^n$
- $f : \{0, 1\}^n \rightarrow \{0, 1\}$ ,  $f = \varphi$ , задана як оракул
- $H = \{0^n, s\}$

$$\varphi(g_1) = \varphi(g_2) \Rightarrow g_1 = g_2 \text{ або } g_1 = g_2 \oplus s$$

# Пошук періоду (факторизація) як AHSP

## Задача пошуку періоду

Задана функція  $\varphi: \mathbb{Z}_Q \rightarrow \mathbb{Z}_N$  за допомогою чорного ящика. Відомо, що  $\varphi(x) = \varphi(x + r)$  для деякого невідомого мінімального значення  $r$ ,  $r|Q$ . Знайти значення  $r$ .

- $G = \mathbb{Z}_Q$
- $S = \mathbb{Z}_N$
- $f: \mathbb{Z}_Q \rightarrow \mathbb{Z}_N$ ,  $f = \varphi$ , задана як оракул
- $H = r\mathbb{Z}_Q$
- ідеально, коли  $Q \gg N$ , навіть  $\mathbb{Z}_Q = \mathbb{Z}$

$$\varphi(g_1) = \varphi(g_2) \Rightarrow r|(g_1 - g_2)$$

# Задача дискретного логарифмування як ANSP

## Задача дискретного логарифмування

Задані просте число  $p$  і примітивний елемент  $g$  за модулем  $p$ . Також відомо значення  $y = g^x \pmod{p}$  для деякого невідомого значення  $x \in \mathbb{Z}_p$ . Знайти значення  $x$ .

- $G = (\mathbb{Z}_{p-1} \times \mathbb{Z}_{p-1}, +)$
- $S = \mathbb{Z}_p$
- $f : \mathbb{Z}_{p-1} \times \mathbb{Z}_{p-1} \rightarrow \mathbb{Z}_p$ ,  $f(a, b) = g^a y^{-b} \pmod{p}$  задана як оракул
- $f$  – гомоморфізм  $f(a_1 + a_2, b_1 + b_2) = f(a_1, b_1)f(a_2, b_2) \pmod{p}$
- ядро відображення  $\text{Ker}(f) = \{(0, 0), (r, 1)\}$
- $H = \{(a, b) \mid a = rb \pmod{p-1}\}$
- справедливо для ел. кривих, включаючи алгоритм Кедлая для підрахунку точок

*K.S. Kedlaya "Quantum computation of zeta functions of curves" // Computational Complexity, 15, 2006, № 1, p.1-19, doi:math.NT/0411623*

# Умови для ефективного розв'язку задачі HSP

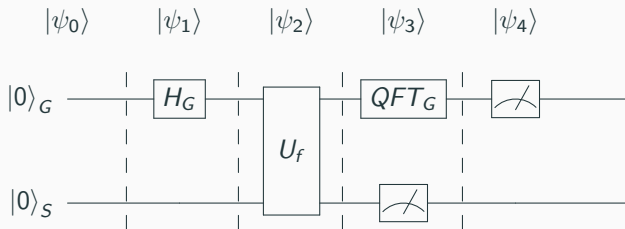
Для ефективного розв'язку задачі HSP необхідно:

- 1 функція  $f$  повинна мати ефективний алгоритм обчислення;
- 2 має бути достатнім поліноміально обмеженої кількості запитів до оракула обчислення функції  $f$ ;
- 3 потужність множини твірних елементів підгрупи  $H$  має бути поліноміально обмеженою.

- 1 загальна кількість функцій  $f : \mathbb{Z}_{2^n} \rightarrow \mathbb{Z}_{2^n}$  дорівнює  $(2^n)^{2^n}$  – всі не можуть обчислюватися ефективно;
- 2 для групи  $G$  і довільної підгрупи  $H \subseteq G$  необхідна лише поліноміальна кількість запитів до оракула (навіть  $O(\log |G|)$ )  
*M.Ettinger, P.Høyer, E.Knill Hidden Subgroup States are Almost Orthogonal. - 1999*
- 3 достатньо  $\log |H| < \log |G|$  елементів.

# Квантовий стандартний підхід до розв'язку задачі HSP

$H_G, H_S$  — гільбертові простори з ортонормованими базисами  $\{|g\rangle : g \in G\}, \{|x\rangle : x \in S\}$ .



- $|\psi_2\rangle = \frac{1}{\sqrt{|G|}} \sum_{g \in G} |g\rangle |f(g)\rangle;$
- $|\psi_3\rangle = \frac{1}{\sqrt{|H|}} \sum_{h \in H} |r+h\rangle |f(r)\rangle;$   $G$  — абелева

# Задача про приховану підгрупу (HSP)

## Ефективність перетворення QFT

- $QFT_{Z_2^n} = H^{\otimes n}$ ;
- $QFT_{Z_{2^n}}$  — алгоритм Шора;
- $QFT_{Z_N}$  — апроксимація за допомогою  $QFT_{Z_{2^n}}$ ;
- для будь-якої абелевої групи —  $G \cong Z_{p_1^{\alpha_1}} \times \dots \times Z_{p_n^{\alpha_n}}$

*K.H. Cheung, M. Mosca "Decomposing Finite Abelian Group" 2001*

- $QFT_{\mathbb{Z}}$  і  $QFT_{\mathbb{R}}$

*S. Hallgren "Polynomial-time quantum algorithms for Pell's equation and the principal ideal problem" // Journal of the ACM (JACM), 54(1):4. 2007*

## Теорема

Задача AHSP має ефективний (поліноміальний) розв'язок в квантовій моделі обчислень. *A. Yu. Kitaev "Quantum measurements and the Abelian Stabilizer Problem" 1995*

# Загальний розв'язок задачі про приховану підгрупу (HSP)

- коеф. в розкладі Фур'є — матриці комплексних чисел (розширення базису, істотне збільшення часової складності перетворення)
  - для більшості класів груп QFT можна реалізувати ефективно
    - *C. Moore, D. Rockmore, A. Russell, L.J. Schulman "The Power of Strong Fourier Sampling: Quantum Algorithms for Affine Groups and Hidden Shifts" 2005*
  - weak Fourier sampling (DHSP,  $S_n$ ) — тільки представлення
  - strong Fourier sampling — представлення з координатами
- обробка результатів по відновленню прихованої групи повинні виконуватися за поліноміальний час в класичній моделі обчислень

# Наявні розв'язки неабелевої задачі про приховану підгрупу (HSP)

- розв'язні групи з обмеженим рядом комутантів та експоненти  
*K.Friedl, G.Ivanyos, F.Magniez, M.Santha, P.Sen Hidden translation and orbit coset in quantum computing - 2003. - pp. 1-9.*
- екстраспеціальні групи  
*G.Ivanyos, L.Sanselme, M.Santha An efficient quantum algorithm for the hidden subgroup problem in extraspecial groups // Proc. 24th STACS, LNCS. - 2007. - Vol. 4393. - pp. 586-597.*
- групи Гейзенберга  
*D.Bacon, A.Childs, W. van Dam From optimal measurement to efficient quantum algorithms for the hidden subgroup problem over semidirect product groups // In Proc. 46th IEEE FOCS. - 2005. - pp. 469-478.*

# Наявні розв'язки неабелевої задачі про приховану підгрупу (HSP)

- нільпотентні групи класу не більше 2  
*G.Ivanyos, L.Sanselme, M.Santha An efficient quantum algorithm for the hidden subgroup problem in nil-2 groups - 2008.*
- Групи виду  $G = Z_{p^r} \rtimes_{\varphi} Z_q$ , де  $p, q$  — прості числа,  $r \geq 1$   
*Y. Inui, F. Le Gall Efficient quantum algorithms for the hidden subgroup problem over semi-direct product groups // Quantum Inf. Comput. -2007. - Vol. 7. - pp. 559-570.*
- певний вид метациклічних груп  
*D.N. Goncalves, R. Portugal, C.M.M. Cosme Solutions to the hidden subgroup problem on some metacyclic groups - 2009.*
- сплетіння груп  $Z_2^k$  та  $Z_2$   
*M. Roetteler, T. Beth Polynomial-time solution to the Hidden Subgroup Problem for a class of non-abelian groups - 1998.*

## Задача про прихований зсув

# Задача про прихований зсув, DHSP

## Задача про прихований зсув, Hidden Shift Problem, Hidden Translation Problem, DHSP

Нехай задані множина твірних елементів скінченної групи  $G$ ,  $(G, \circ, ^{-1}, e)$ , і дві ін'єктивні функції —  $f_0$  і  $f_1$ , які відображають групу  $G$  в деяку скінченну множину  $S$  з додатковою умовою, що існує такий елемент  $u \in G$ , який називають **зсувом**, що для будь-якого значення  $g \in G$  виконується співвідношення  $f_0(g) = f_1(g \circ u)$ . Необхідно знайти невідоме значення зсуву  $u$ , використовуючи обчислення значень функцій  $f_0$  і  $f_1$ .

*W. van Dam, S. Hallgren, L. Ip "Quantum algorithms for some hidden shift problems" // SIAM Journal on Computing. 2006. № 36. pp. 763-778*

## Зауваження

Якщо  $G$  — абелева, то говоримо про **абелеву задачу про прихований зсув**  $(G, +, -, 0)$ .

## Часткові випадки задачі про прихований зсув

van Dam, S. Hallgren, L. Ip. Quantum algorithms for some hidden shift problems. SIAM Journal on Computing, 36:763-778, 2006.

**пошук символу Лежандра зі зсувом**

A. Childs, L.J. Schulman, U. Vazirani Quantum algorithms for hidden nonlinear structures. (FOCS'07), pp. 395-404, 2007.

**геометрична задача пошуку центра сфери зі зсувом**

O.Regev Quantum computation and lattice problems // SIAM Journal on Computing, 33(2):738-760, 2004.

**задачі на решітках зі зсувом**

A.Childs, P.Wocjan On the quantum hardness of solving isomorphism problems as nonabelian hidden shift problems // Quantum Information and Computation, 7(5-6):504-521, 2007.

**ізоморфізм графів**

# Наявні ефективні розв'язки задачі DHSP

- $G = Z_2^n$
- $G = Z_p^n, p > 2$

W. van Dam, S. Hallgren, L. Ip Quantum algorithms for some hidden shift problems // SIAM Journal on Computing. - 2006. - №36. - pp. 763-778.

G. Ivanyos, F. Magniez, M. Santha Efficient quantum algorithms for some instances of the non-abelian hidden subgroup problem // International Journal of Foundations of Computer Science. - 2003. - Vol. 14. - №5. - pp. 723-739.

S. Fenner, Y. Zhang On the complexity of the hidden subgroup problem // Proceedings of the 5th international conference on Theory and applications of models of computation. Xi'an, China, April 25-29. - 2008.

## Дієдральна група

$$D_n = (r, s | r^n = 1, s^2 = 1, srs = r^{-1})$$
$$(a, 0)(b, i) = (a + b, i) \text{ і } (a, 1)(b, i) = (a - b, i + 1 \pmod{2})$$

## Твердження

Абелева задача про прихований зсув для циклічної групи  $\mathbb{Z}_N$  еквівалентна задачі про приховану підгрупу для дієдральної групи  $D_N$ .

*M. Ettinger, P. Hoyer On quantum algorithms for noncommutative hidden subgroups // Advances in Applied Mathematics. - 2000. - Vol. 25. - №3. - pp. 239-251.*

# Алгоритм Куперберга

В класичній моделі — близько  $N$  запитів для розв'язку задачі DHSP.

$$N = 2^n$$

$$|\psi_b\rangle = \frac{1}{\sqrt{2}}(|0\rangle + \omega_N^{bu} |1\rangle)$$

$$|\psi_c\rangle = \frac{1}{\sqrt{2}}(|0\rangle + \omega_N^{cu} |1\rangle)$$

$$|\psi_b\rangle |\psi_c\rangle = \frac{1}{2}(|0\rangle |0\rangle + \omega_N^{bu} |1\rangle |0\rangle + \omega_N^{cu} |0\rangle |1\rangle + \omega_N^{u(b+c)} |1\rangle |1\rangle) \xrightarrow{\text{CNOT}} \frac{1}{\sqrt{2}}(|\psi_{b+c}\rangle |0\rangle + \omega_N^{cu} |\psi_{b-c}\rangle |1\rangle) \text{ (декомпозиція Клебша-Гордона)}$$

Необхідною є дуже велика кількість станів такого виду

*G. Kuperberg G. Another subexponential-time quantum algorithm for the dihedral hidden subgroup problem // Proceedings of the 8th Conference on the Theory of Quantum Computation, Communication and Cryptography. - 2013. - Vol. 22. - pp. 20-34.*

$O(16^{\sqrt{n}})$  – станів при  $N = 2^n$ , відкидаємо з +

*O. Regev A subexponential time algorithm for the dihedral hidden subgroup problem with polynomial space // e-Print archive. - 2004.*

*O. Regev On the complexity of lattice problems with polynomial approximation factors // The LLL Algorithm, Information Security and Cryptography. - 2010. - pp. 475-496*

Використання NP-повної задачі про суму підмножини для поліноміальної оцінки пам'яті

Зв'язок з пошуком найкоротшого вектора решітки

## $M$ -узагальнена задача про прихований зсув

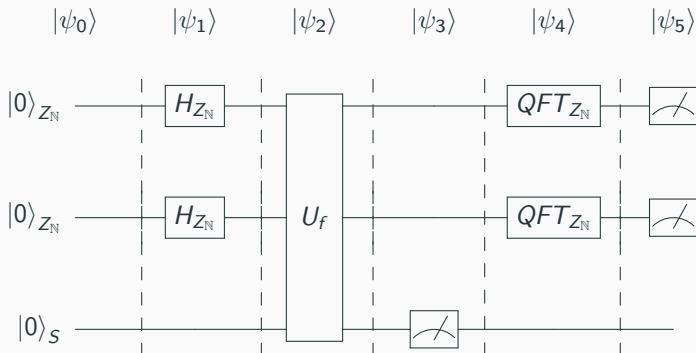
A. Childs, W. van Dam Quantum algorithm for a generalized hidden shift problem // Proc. 18th ACM-SIAM Symposium on Discrete Algorithms (SOD'2007). 2007. pp. 1225-1232.

### $M$ -узагальнена задача про прихований зсув, $M$ -generalized hidden shift problem

Нехай задано множину твірних елементів скінченної групи  $G$ ,  $(G, \circ, {}^{-1}, e)$ , і відображення  $f: \{0, \dots, M-1\} \times G \rightarrow S$  таке, що для будь-якого фіксованого значення  $b$  відображення  $f(b, \cdot): G \rightarrow S$  є ін'єктивним, а також, для всіх значень  $b$ ,  $0 \leq b < M-1$ ,  $f(b, g) = f(b+1, g \circ u)$  для довільного значення  $g \in G$  і невідомого значення зсуву  $u \in G$ . Необхідно знайти невідоме значення зсуву  $u$ , використовуючи обчислення значень функції  $f$ .

При  $M = 2$  — задача про прихований зсув, але при досить великих значеннях  $M$  узагальнена задача стає набагато простішою.

# Розв'язок $M$ -узгаальної задачі про прихований зсув



$$U_f(|b\rangle |x\rangle |0\rangle) = |b\rangle |x\rangle |f(b, x)\rangle$$

# Розв'язок $M$ -загальної задачі про прихований зсув

- $|\psi_2\rangle = \frac{1}{N} \sum_{b=0}^{M-1} \sum_{x=0}^{N-1} |b\rangle |x\rangle |f(b, x)\rangle$
- $|\psi_3\rangle = \frac{1}{\sqrt{N}} \sum_{b=0, f(0,x)=t}^{M-1} |b\rangle |x + bu\rangle |t\rangle$
- $|\psi_4\rangle = (QFT_{Z_N} \otimes QFT_{Z_N}) |\psi_3\rangle = \frac{1}{N\sqrt{N}} \sum_{y,z \in Z_N} \omega^{xz} \sum_{b=0, f(0,x)=t}^{M-1} \omega^{b(y+uz)} |y\rangle |z\rangle, \omega = e^{2\pi i/N}$
- якщо  $M = N$ , то  $|\psi_4\rangle = \frac{1}{\sqrt{N}} \sum_{z \in Z_N} \omega^{xz} | -uz\rangle |z\rangle$

[CvD07] –  $M \geq \frac{N}{\text{poly}(\log N)}$ , використовуючи PGM та цілочисельне програмування

- *W. van Dam, S. Hallgren, L. Ip "Quantum algorithms for some hidden shift problems"*  
*// SIAM Journal on Computing. 2006. № 36. pp. 763-778*

**Задача про прихований клас суміжності** (*Hidden Coset Problem*). Нехай задано множину твірних елементів скінченної групи  $G$ ,  $(G, \circ, {}^{-1}, e)$ , і два відображення –  $f_0 : G \rightarrow S$  та  $f_1 : G \rightarrow S$ , де  $S$  – деяка скінченна множина, така, що для певних значень зсуву  $u \in G$  виконується співвідношення  $f_0(g) = f_1(g \circ u)$  для всіх елементів  $g \in G$ . Необхідно знайти всі невідомі значення зсуву  $u$ , використовуючи обчислення значень функцій  $f_0$  і  $f_1$ .

- *D.N. Goncalves, R. Portugal, C.M.M. Cosme "Solutions to the hidden subgroup problem on some metacyclic groups" // In: Proc. TQC2009, Lect. Notes Comput. Sci. Berlin: Springer-Verlag. 2009. Vol. 5906. pp. 1-9*

**Задача про орбіту класу суміжності**, (*Orbit Coset Problem*, OCP). Нехай задано множину твірних елементів скінченної групи  $G$ ,  $(G, \circ, {}^{-1}, e)$ , і деяку множину попарно ортогональних квантових станів  $\Gamma$ , а також два стани  $|\phi_0\rangle, |\phi_1\rangle \in \Gamma$ . Необхідно визначити чи виконується  $G(|\phi_0\rangle) \cap G(|\phi_1\rangle) = \emptyset$ , і знайти  $u \in G$   $|u \cdot \phi_0\rangle = |\phi_1\rangle$

- *T. Decker, G. Ivanyos, M. Santha, P. Wocjan "Hidden Symmetry Subgroup Problems"*  
*// SIAM J. Comput. 2013. Vol. 42(5). pp. 1987-2007*

**Задача про приховану симетрію підгрупи** (*Hidden Symmetry Subgroup Problem*, HSSP). Нехай задані множина твірних елементів скінченної групи  $G$ , яка діє на множині  $M$ , операція  $\circ: G \times M \rightarrow M$ , скінченна множина  $S$  і деяка функція  $f: M \rightarrow S$  з додатковою умовою, що існує підгрупа  $H \subset G$  така, що  $\forall m_1, m_2 \in M$  виконується співвідношення  $f(m_1) = f(m_2) \Leftrightarrow H \circ m_1 = H \circ m_2$ . Необхідно знайти множину твірних елементів підгрупи  $H$ .

## Задача (узагальненого дискретного логарифмування)

Нехай заданий елемент  $A \in G$  з відомим порядком  $a$  і є відомим такий елемент  $B \in G$ , що  $A^n B \neq BA^n$  для будь-якого значення  $n \in \mathbb{Z}_a$ ,  $n \neq 0$ . За заданим значенням  $K = A^x Z$ , де  $x \in \mathbb{Z}_a$  – невідоме значення, а  $Z$  – невідомий елемент з перетину  $Z_G(A) \cap Z_G(B)$ , знайти значення  $x$  та елемент  $Z$ .

# Розв'язок узагальненої задачі дискретного логарифмування

$f: Z_a \times Z_a \rightarrow G$ ,  $Z_a$  — адитивна група кільця лишків

$$f(m, n) = A^m K^{-n} B K^n A^{-m} = A^{m-xn} B A^{-m+xn}$$

$$H = \{(tx, t) \mid t \in Z_a\} \subseteq Z_a \times Z_a$$

якщо  $f(m_1, n_1) = f(m_2, n_2)$ , то  $A^{m_1-m_2-xn_1+xn_2} B = B A^{m_1-m_2-xn_1+xn_2}$

$$(m_1 - m_2 - xn_1 + xn_2):a$$

$$\forall t_1 \in Z_a \exists t_2 \in Z_a t_2 = n_1 + t_1 - n_2$$

$$(m_1 + t_1x, n_1 + t_1) = (m_2 + t_2x, n_2 + t_2)$$

$(m_1, n_1)H = (m_2, n_2)H$ , тобто  $f$  приховує підгрупу  $H$

$Z_a \times Z_a$  — абелева група

за твірними елементами знаходиться значення  $x$ , а потім  $Z = A^{-x}K$

# Задачі комбінаторної теорії груп

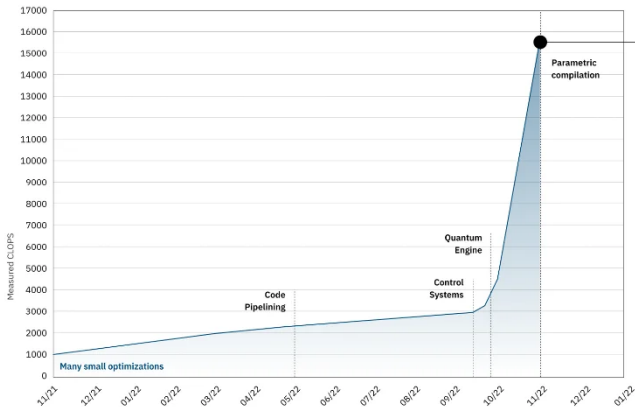
- задача рівності слів (*Word Problem*) — чи правильно, що  $g = h$
- задача спряженого елемента (*Conjugacy Problem*) — за заданими словами  $g, h \in G$  визначити чи є вони спряженими, тобто  $g = vhv^{-1}$
- задача ізоморфізму скінченно визначених груп за їхніми представленнями (*Isomorphism Problem*)
- задача пошуку спряженого елемента (*Conjugacy Search Problem, CSP*):  
Аншель-Аншель-Голдфельд, група кіс Артіна  $B_n$  на  $n$  нитках
- задача пошуку спряженого елемента та степеню (*Power Conjugacy Search Problem, PCSP*) :  
 $g = vh^k v^{-1}$ , **матричні групи, група оборотних елементів узагальненої алгебри кватерніонів над полем  $GF(p)$**

# Метрики квантових обчислювальних пристроїв

# Метрики квантових обчислювальних пристроїв

Класичний комп'ютер — кількість транзисторів

- розмір (кубіти)
- якість
- швидкість (кількість обробки рівнів вентилів в секунду)



15,700  
CLOPS

- кількість кубітів

- кількість кубітів
- точність вентилів

- кількість кубітів
- точність вентилів
- паралелізм вентилів

- кількість кубітів
- точність вентилів
- паралелізм вентилів
- оптимізація схеми

- кількість кубітів
- точність вентилів
- паралелізм вентилів
- оптимізація схеми
- узгодженість (когеренція)

- кількість кубітів
- точність вентилів
- паралелізм вентилів
- оптимізація схеми
- узгодженість (когеренція)
- **точність вимірювання**

- кількість кубітів
- точність вентилів
- паралелізм вентилів
- оптимізація схеми
- узгодженість (когеренція)
- точність вимірювання
- перехресні перешкоди

- кількість кубітів
- точність вентилів
- паралелізм вентилів
- оптимізація схеми
- узгодженість (когеренція)
- точність вимірювання
- перехресні перешкоди
- **точність ініціалізації**

- кількість кубітів
- точність вентилів
- паралелізм вентилів
- оптимізація схеми
- узгодженість (когеренція)
- точність вимірювання
- перехресні перешкоди
- точність ініціалізації
- помилки калібрування

- кількість кубітів
- точність вентилів
- паралелізм вентилів
- оптимізація схеми
- узгодженість (когеренція)
- точність вимірювання
- перехресні перешкоди
- точність ініціалізації
- помилки калібрування
- помилки спостереження

- кількість кубітів
- точність вентилів
- паралелізм вентилів
- оптимізація схеми
- узгодженість (когеренція)
- точність вимірювання
- перехресні перешкоди
- точність ініціалізації
- помилки калібрування
- помилки спостереження
- структура стикування

# Квантовий об'єм

- кількість кубітів
- кількість елементарних вентилів (глибина)
- характеристики алгоритмів

*Nikolaj Moll та ін. Quantum optimization using variational algorithms on near-term quantum devices - 2018*

$V_Q = \min N, d(N)$ ,  $N$  — кількість кубітів,  $d$  глибина схеми,  $d \approx \frac{1}{N\epsilon_{eff}}$ ,  
 $\epsilon_{eff}$  — помилка в середньому двокубітного вентиля.

## Квантовий об'єм

$$V_Q = \max_{n \leq N} \min n, \frac{1}{n\epsilon_{eff}}$$

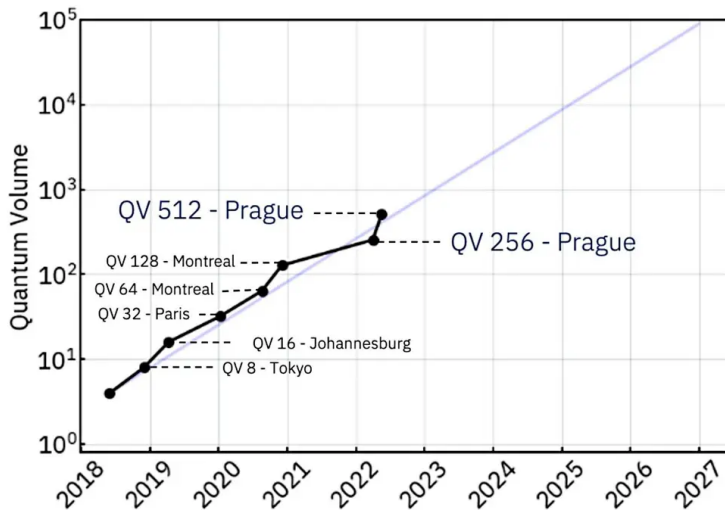
## Зауваження

$$\text{IBM: } \log_2 V_Q = \arg \max_{n \leq N} \min n, \frac{1}{n\epsilon_{eff}}$$

# Квантовий об'єм

Дата	Квантовий об'єм	Виробник	Модель
01.2020	32 (5×5)	IBM	28 кубітів
06.2020	64 (6×6)	Honeywell	6 кубітів
08.2020	64 (6×6)	IBM	27 кубітів
11.2020	128 (7×7)	Honeywell	10 кубітів
12.2020	128 (7×7)	IBM	27 кубітів
03.2021	512 (9×9)	Honeywell	10 кубітів
07.2021	1024 (10×10)	Honeywell	10 кубітів
12.2021	2048 (11×11)	Quantinuum	12 кубітів
04.2022	256 (8×8)	IBM	27 кубітів
04.2022	4096 (12×12)	Quantinuum	12 кубітів
05.2022	512 (9×9)	IBM	27 кубітів
09.2022	8192 (13×13)	Quantinuum	20 кубітів
12.2022	1024 (13×13)	Quantinuum	20 кубітів

# Квантовый об'єм



# Квантові реалізації

# Квантова реалізація шифру AES

*M. Grassl, B. Langenberg, M. Roetteler, R. Steinwandt "Applying Grover's Algorithm to AES: Quantum Resource Estimates" // Post-Quantum Cryptography: 7th International Workshop, PQCrypto 2016. pp. 29-43. 2016*

## AES-128

	T-вентилі	Clifford	T вклад.	вклад.	кубіти
KeyGen	143 360	185 464	5 760	12 626	320
10 раундів	917 504	1 194 956	44 928	98 173	536
Всього	1 060 864	1 380 420	50 688	110 799	856+128

# Квантова реалізація шифру AES

*M. Grassl, B. Langenberg, M. Roetteler, R. Steinwandt "Applying Grover's Algorithm to AES: Quantum Resource Estimates" // Post-Quantum Cryptography: 7th International Workshop, PQCrypto 2016. pp. 29-43. 2016*

## AES-128

	T-вентилі	Clifford	T вклад.	вклад.	кубіти
KeyGen	143 360	185 464	5 760	12 626	320
10 раундів	917 504	1 194 956	44 928	98 173	536
Всього	1 060 864	1 380 420	50 688	110 799	856+128

## AES-192

	T-вентилі	Clifford	T вклад.	вклад.	кубіти
KeyGen	114 688	148 776	4 608	10 107	256
12 раундів	1 089 536	1 418 520	39 744	86 849	664
Всього	1 204 224	1 567 296	44 352	96 956	920+192

# Квантова реалізація шифру AES

## AES-256

	T-вентилі	Clifford	T вклад.	вклад.	кубіти
KeyGen	186 368	240 699	7 488	16 408	416
14 раундів	1 318 912	1 715 400	52 416	114 521	664
Всього	1 505 280	1 956 099	59 904	130 929	1080+256

# Квантова реалізація шифру AES

## AES-256

	Т-вентилі	Clifford	Т вклад.	вклад.	кубіти
KeyGen	186 368	240 699	7 488	16 408	416
14 раундів	1 318 912	1 715 400	52 416	114 521	664
Всього	1 505 280	1 956 099	59 904	130 929	1080+256

## Атака Гровера на шифр AES-k

k	Т-вентилі	Clifford	Т вклад.	вклад.	кубіти
128	$1.19 \cdot 2^{86}$	$1.55 \cdot 2^{86}$	$1.06 \cdot 2^{80}$	$1.16 \cdot 2^{81}$	2 953
192	$1.81 \cdot 2^{118}$	$1.17 \cdot 2^{119}$	$1.21 \cdot 2^{112}$	$1.33 \cdot 2^{113}$	4 449
256	$1.41 \cdot 2^{151}$	$1.83 \cdot 2^{151}$	$1.44 \cdot 2^{144}$	$1.57 \cdot 2^{145}$	6 681

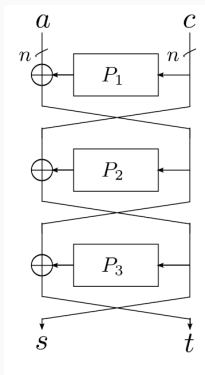
# Квантовий криптоаналіз

*X. Bonnetain, M. Naya-Plasencia, A. Schrottenloher "Quantum Security Analysis of AES" // Cryptology ePrint Archive, Report 2019/272*

- побудована атака "Квадрат" з відновленням ключа на 6-раундовий шифр AES-128 та 7-раундові шифри AES-192 та AES-256
- побудована квантова атака Demirçi-Selçuk MITM з відновленням ключа на 8-раундовий шифр AES-256

# Аналіз 3-раундової схеми Фейстеля

*H. Kuwakado, M. Morii "Quantum distinguisher between the 3-round Feistel cipher and the random permutation" // In Information Theory Proceedings (ISIT), 2010 IEEE International Symposium on. pp. 2682-2685. - 2010*



$$a, c, s, t \in \{0, 1\}^n$$

$$x = a||c$$

$$FP(x) = FP(a||c) =$$

$$c \oplus P_2(a \oplus P_1(c)) || (a \oplus P_1(c)) \oplus$$

$$P_3(c \oplus P_2(a \oplus P_1(c))) = s||t$$

RP — випадкова підстановка

на  $\{0, 1\}^{2n}$

Необхідно розрізнити FP та RP

без використання обернення

## Аналіз 3-раундової схеми Фейстеля

Нехай  $W: \{0,1\}^{2n} \rightarrow \{0,1\}^n$

$$W(x) = W(a||c) = c \oplus P_2(a \oplus P_1(c))$$

## Аналіз 3-раундової схеми Фейстеля

Нехай  $W: \{0, 1\}^{2n} \rightarrow \{0, 1\}^n$

$$W(x) = W(a||c) = c \oplus P_2(a \oplus P_1(c))$$

Нехай  $f: \{0, 1\}^{n+1} \rightarrow \{0, 1\}^n$

$$f(b||a) = \begin{cases} W(a||\alpha) \oplus \beta & b = 0 \\ W(a||\beta) \oplus \alpha & b = 1 \end{cases}, b \in \{0, 1\}, a, \alpha, \beta \in \{0, 1\}^n$$

### Твердження

$$f(b||a) = f(b'||a') \Leftrightarrow b' = b \oplus 1 \text{ і } a' = a \oplus z, \text{ де } z = P_1(\alpha) \oplus P_1(\beta)$$

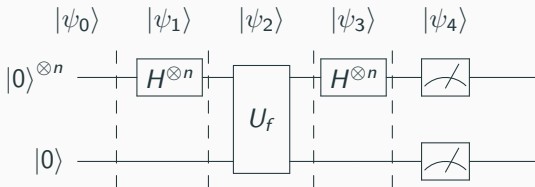
### Наслідок

$$f(b||a) = f((b||a) \oplus (1||z)).$$

Функція  $f$  є періодичною

## Задача Саймона

Задана функція  $f: \{0, 1\}^n \rightarrow \{0, 1\}^n$  за допомогою чорного ящика. Відомо, що  $f(x) = f(y) \Leftrightarrow x \oplus y \in \{0, s\}$  для деякого фіксованого невідомого  $s$ . Знайти значення  $s$ .



*T. Santoli, C. Schaffner "Using Simon's algorithm to attack symmetric-key cryptographic primitives" // Quantum Information and Computation. - Vol. 17. - Iss. 1-2. - 2017. - pp. 65-78.*

*M. Kaplan, G. Leurent, A. Leverrier, M. Naya-Plasencia "Breaking symmetric cryptosystems using quantum period finding" // Proceedings (Part II) of CRYPTO 2016 (M. Robshaw, J. Katz, eds.), Springer, Heidelberg, LNCS. - Vol. 9815. - 2016. - pp. 207-237.*

Нехай  $\epsilon(f, s) = \max_{t \in \{0,1\}^n \setminus \{0,s\}} \Pr_x[f(x) = f(x \oplus t)]$

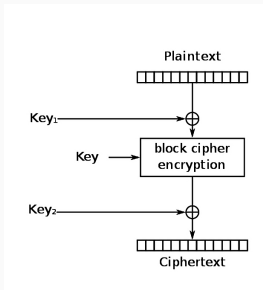
## Теорема (Kaplan, Leurent, Leverrier, Naya-Plasencia)

Якщо  $\epsilon(f, s) = p < 1$ , тоді алгоритм Саймона обчислить значення  $s$  за  $cn$  стандартних квантових запитів з ймовірністю не менше ніж  $1 - (2(\frac{1+p}{2})^c)^n$ .

# Схема Івена-Мансура

$$E(x, k_1, k_2, k_3) = k_1 \oplus S_{k_2}(x \oplus k_3)$$

$$E(x, k_1, k_2) = k_1 \oplus S(x \oplus k_2)$$



$$f: \{0, 1\}^n \rightarrow \{0, 1\}^n$$

$$\begin{aligned} f(x) &= E(x, k_1, k_2) \oplus S(x) = \\ &= S(x \oplus k_1) \oplus S(x) \oplus k_2 \end{aligned}$$

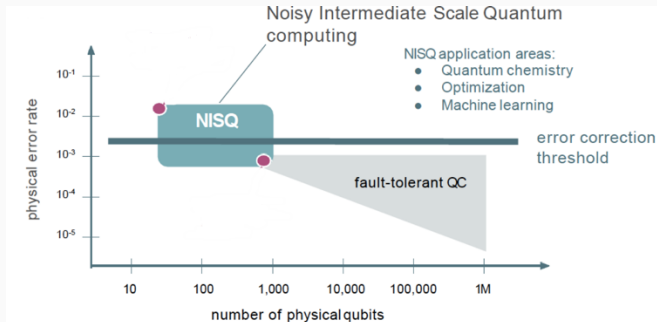
$$f(x) = f(x \oplus k_1)$$

- $\epsilon(f, s) < \frac{1}{2}$  — алгоритм Саймона
- $\epsilon(f, s) \geq \frac{1}{2}$  — атака розрізнення в класичній моделі обчислень

$$t \neq s, t \neq 0$$

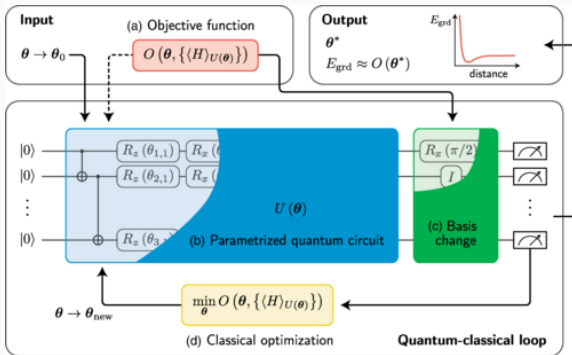
$$\Pr [ S(x) \oplus S(x \oplus s) \oplus$$

$$\oplus S(x \oplus t) \oplus S(x \oplus s \oplus t) = 0 ] > \frac{1}{2}$$

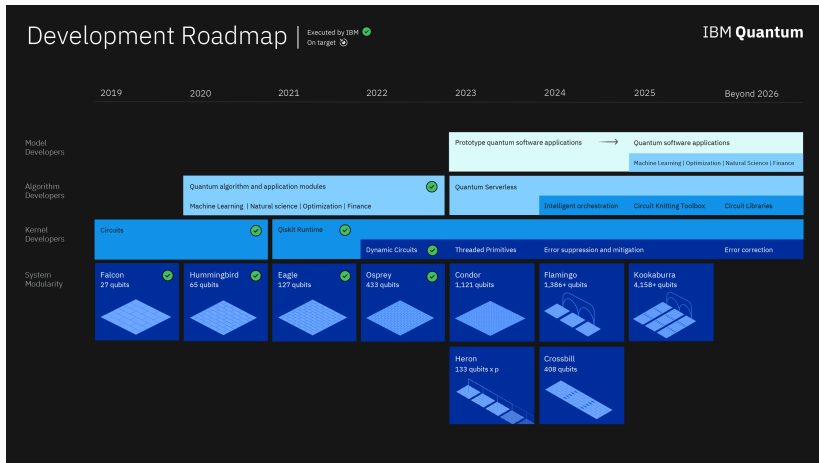


# Алгоритми епохи NISQ

- варіаційний квантовий власний розв'язувач (variational quantum eigensolver або VQE)
- алгоритм квантової наближеної оптимізації (quantum approximate optimization algorithm або QAOA)

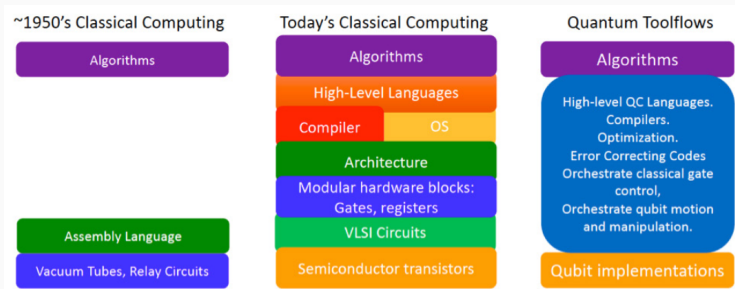


# План розвитку IBM



# Області досліджень

- оптимізація і реалізація схем
- використання Q#, Qiskit, ...
- алгоритми та протоколи
- схеми корекції помилок
- адаптація алгоритмів
- навчальний процес
- реалізація примітивів
- аналіз стійкості (Гровер-Саймон, Брасар)
- алгебраїчні властивості
- постквантові примітиви і протоколи



Дякую за увагу!